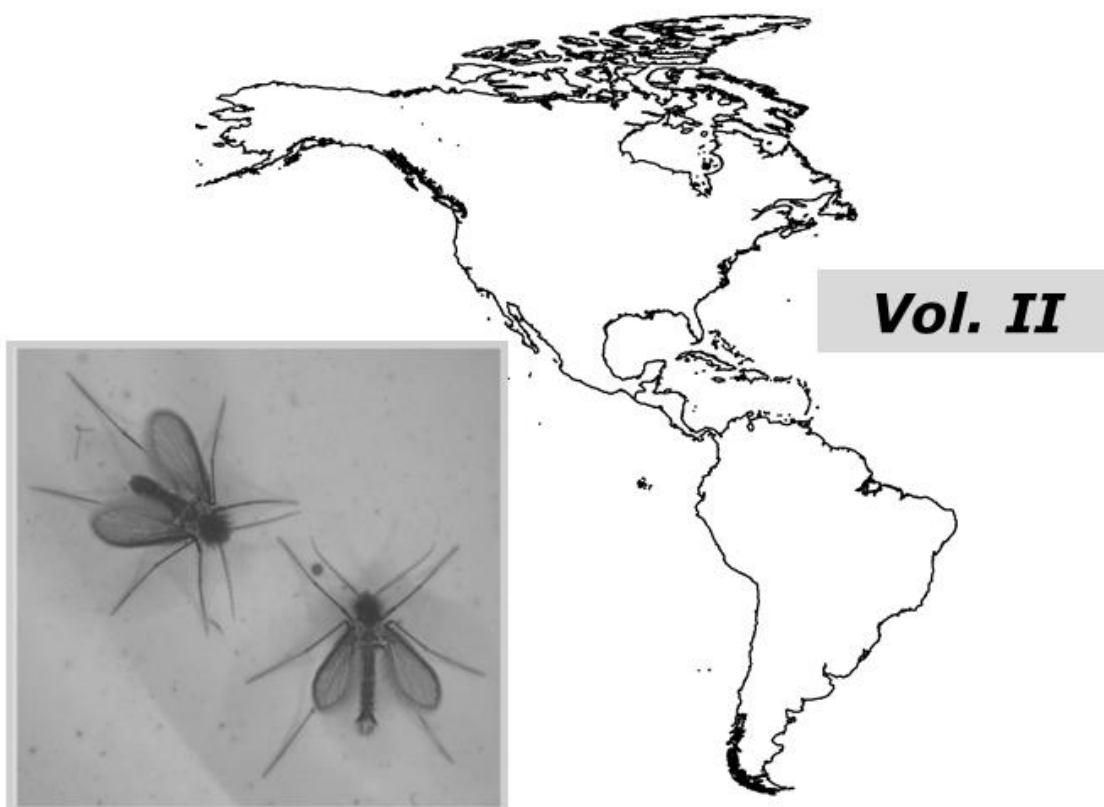


# **Morfologia e terminologia de Phlebotominae (Diptera: Psychodidae)**

## **Classificação e identificação de táxons das Américas**

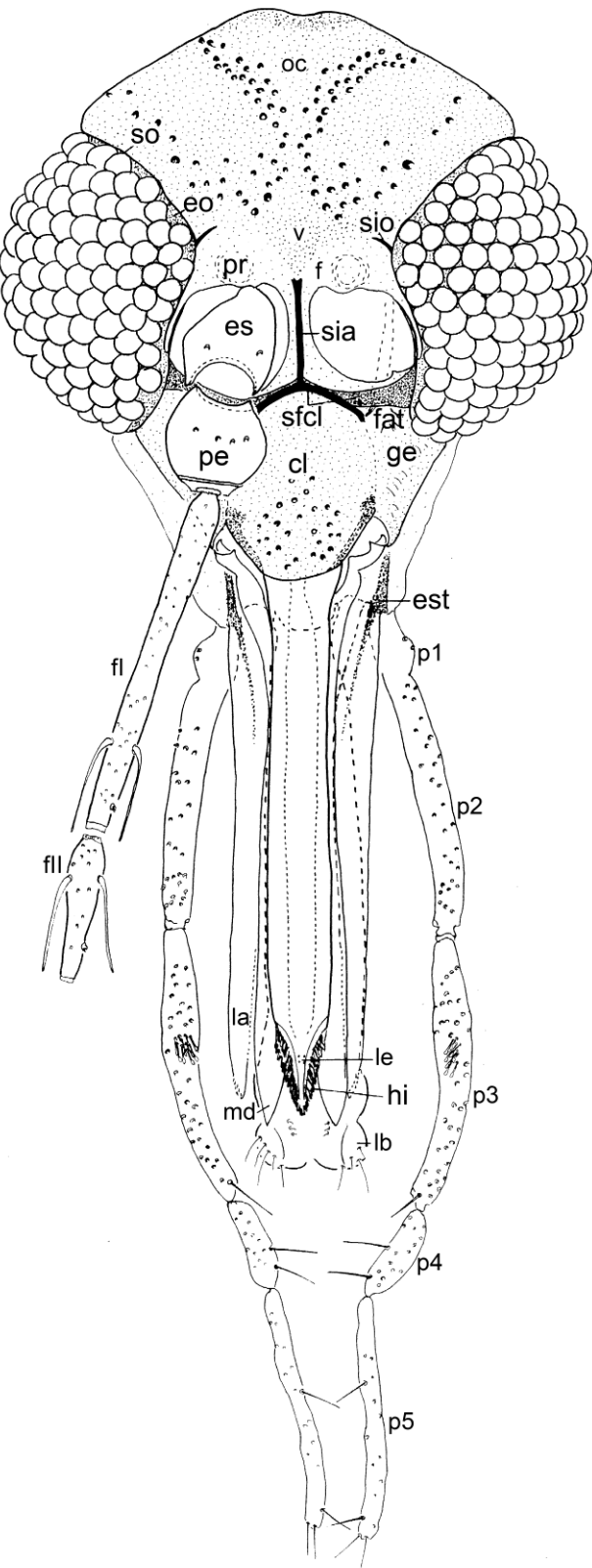


***Eunice A. Bianchi Galati***

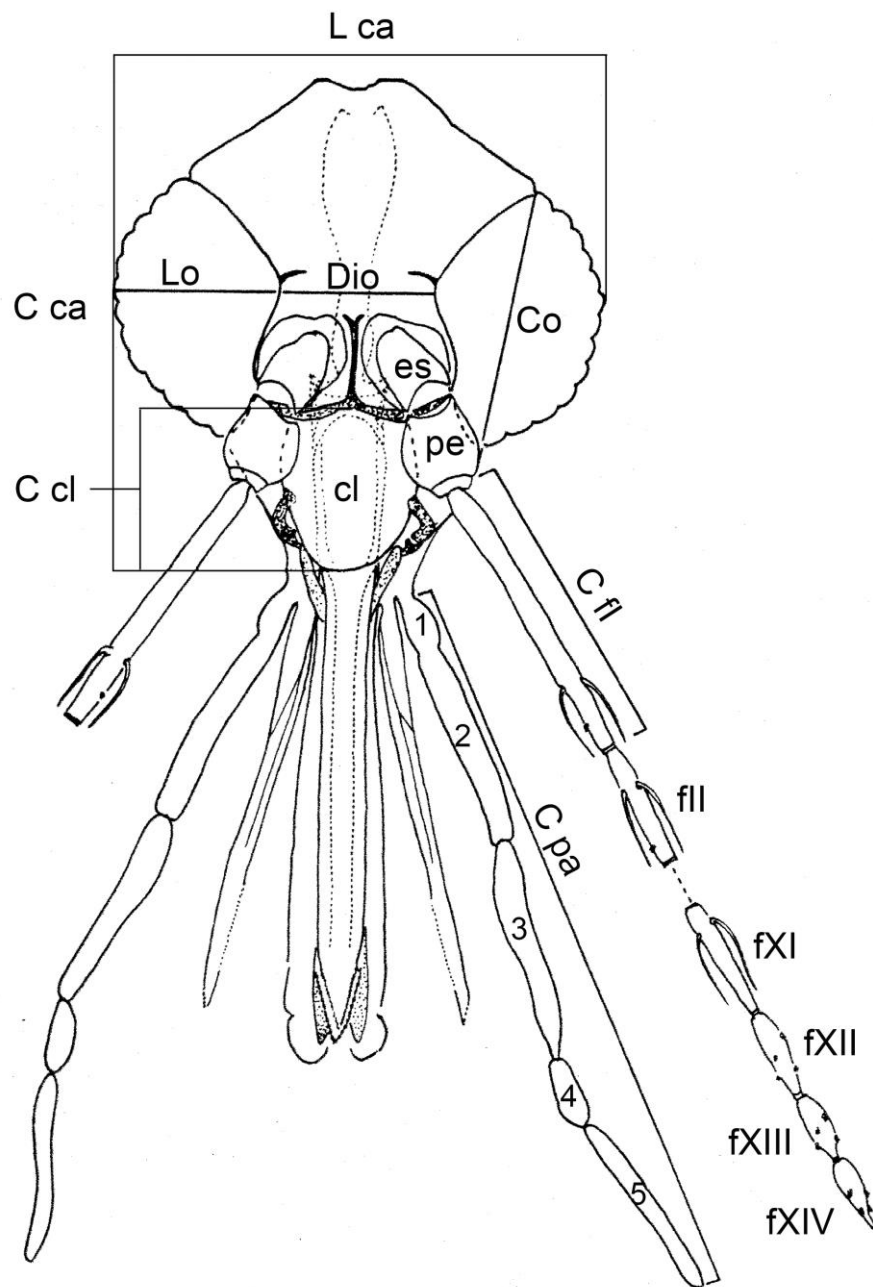
Como citar: Galati EAB. 2019. Morfologia e terminologia de Phlebotominae (Diptera: Psychodidae). Classificação e identificação de táxons das Américas. Vol II. Apostila da Disciplina Bioecologia e Identificação de Phlebotominae do Programa de Pós-Graduação em Saúde Pública. Faculdade de Saúde Pública da Universidade de São Paulo, São Paulo. 46p. Disponível em: <http://www.fsp.usp.br/egalati/>

Esta apostila é uma atualização do capítulo 2 - Morfologia e Taxonomia: 2.1, Classificação de Phlebotominae, p. 23-51 e 2.2. Morfologia, Terminologia de Adultos e Identificação dos táxons da América, p. 53-75. In Rangel EF & Lainson R. (org.) *Flebotomíneos do Brasil*, Rio de Janeiro, FIOCRUZ, 2003, 367 p

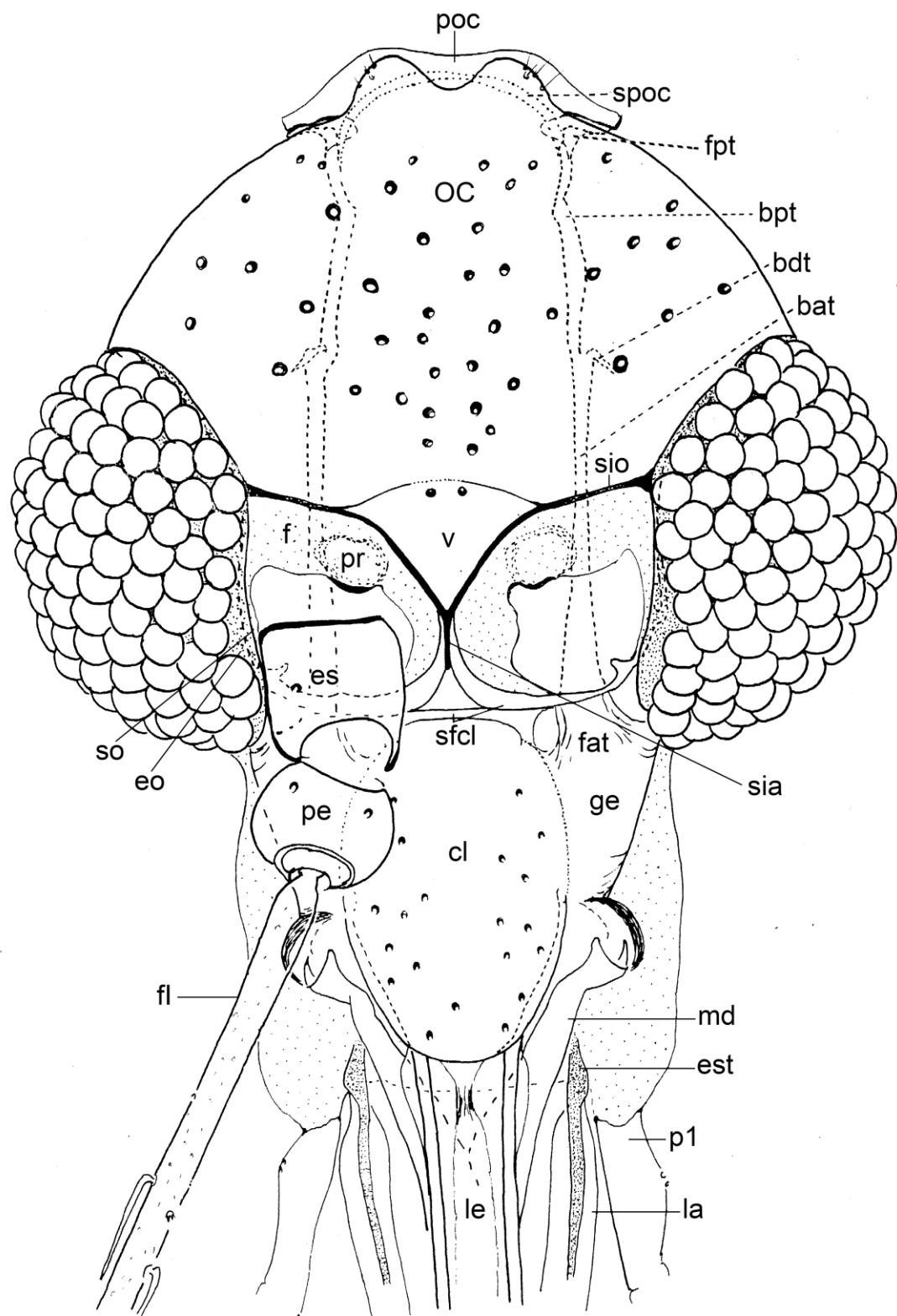
# ILUSTRAÇÕES



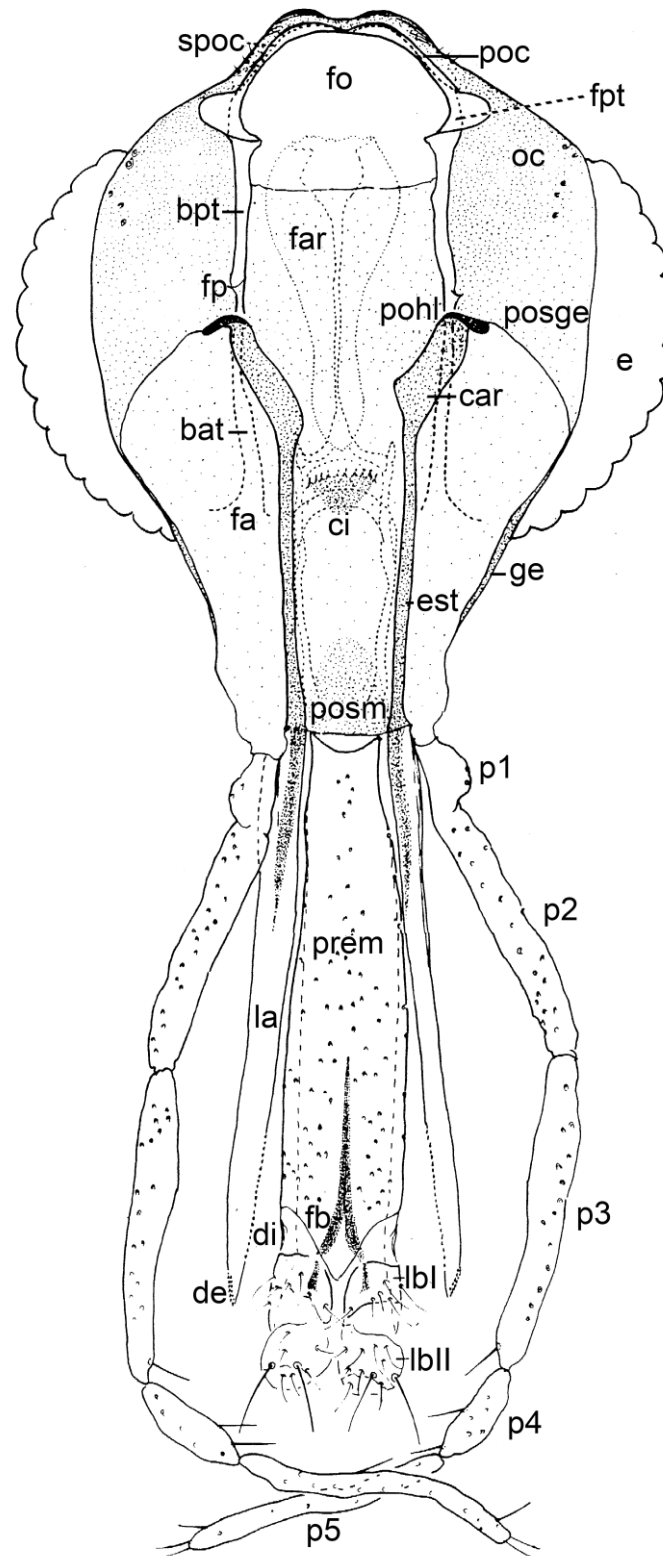
**Fig. 1.** Cabeça de Phlebotominae em vista dorsal: **fl** – 1º flagelômero, **fll** - 2º flagelômero, **cl** – clípeo, **eo** – esclerito ocular, **es** – escapo, **est** – estipe da maxila, **f** – fronte, **fat** – fosseta anterior do tentório, **ge** – gena, **hi** – hipofaringe, **la** – lacínia da maxila, **lb** – lábio, **le** – labro-epifaringe, **md** – mandíbula, **oc** – occipício, **p1** – 1º segmento palpal, **p2** – 2º segmento palpal, **p3** – 3º segmento palpal, **p4** – 4º segmento palpal, **p5** – 5º segmento palpal, **pe** – pedicelo, **pr** – protuberância da fronte, **sfcl** – sutura frontoclypeal, **sia** – sutura interantenal, **sio** – sutura interocular, **so** – sutura ocular, **v** – vértice. *Nyssomyia intermedia*



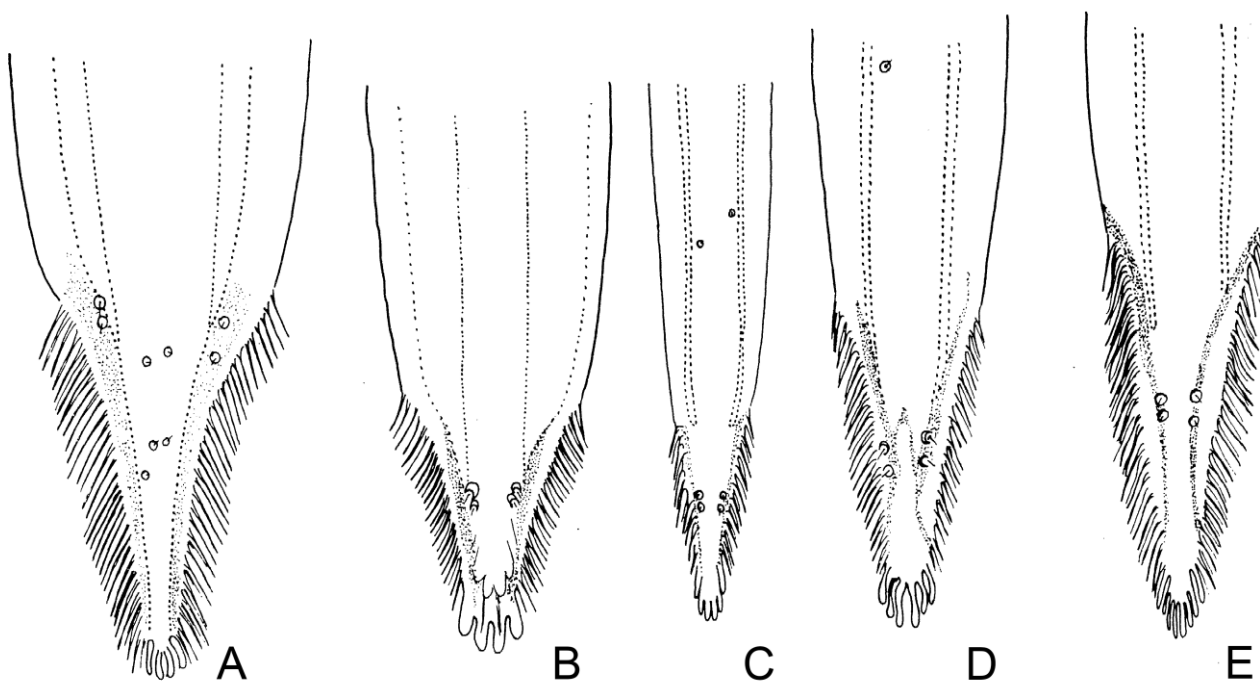
**Fig. 1-A.** Cabeça e seus apêndices. **A** - antena (e-escapo, p-pedicel, fI-fXIV – flagelo), **C**. comprimento, **ca**. Cápsula cefálica, **cl**. Clípeo, **Co**. comprimento ocular, **Dio**. Distância interocular, **L**. largura, **la**. Lábio, **pa**. Palpo maxilar.



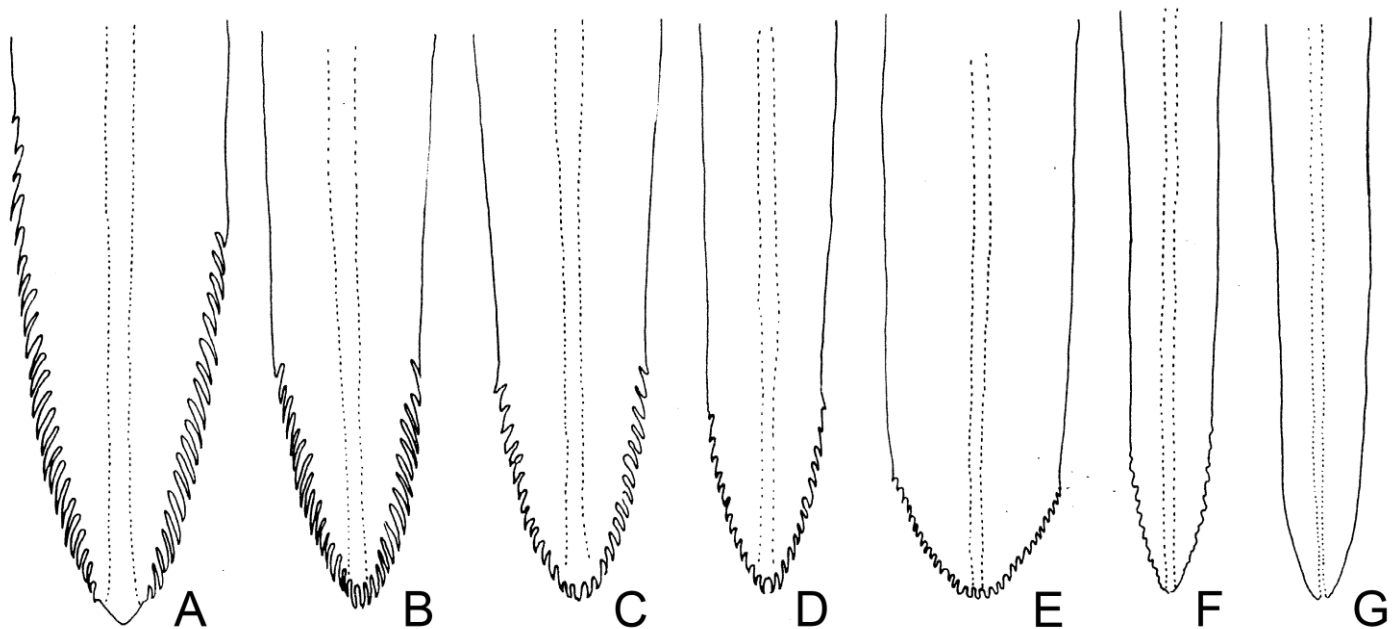
**Fig. 2.** Cabeça de fêmea de Phlebotominae em vista dorsal: **bat** – braço anterior do tentório, **bdt** – braço dorsal do tentório, **bpt** – braço posterior do tentório, **cl** – clípeo, **eo** – esclerito ocular, **es** – escapo, **est** – estipe da maxila, **fl** – 1º flagelômero, **f** – fronte, **fat** – fosseta anterior do tentório, **fpt** – fosseta posterior do tentório, **ge** – gena, **ia** – lacínia da maxila, **le** – labro-epifaringe, **md** – mandíbula, **oc** – occipício, **p1** – 1º segmento palpal, **pe** – pedicel, **poc** – pós-occipício, **pr** – protuberância da fronte, **sfcl** – sutura frontoclypeal, **sia** – sutura interantenal, **sio** – sutura interocular, **so** – sutura ocular, **v** – vértice. *Warileya lumbrerasi*



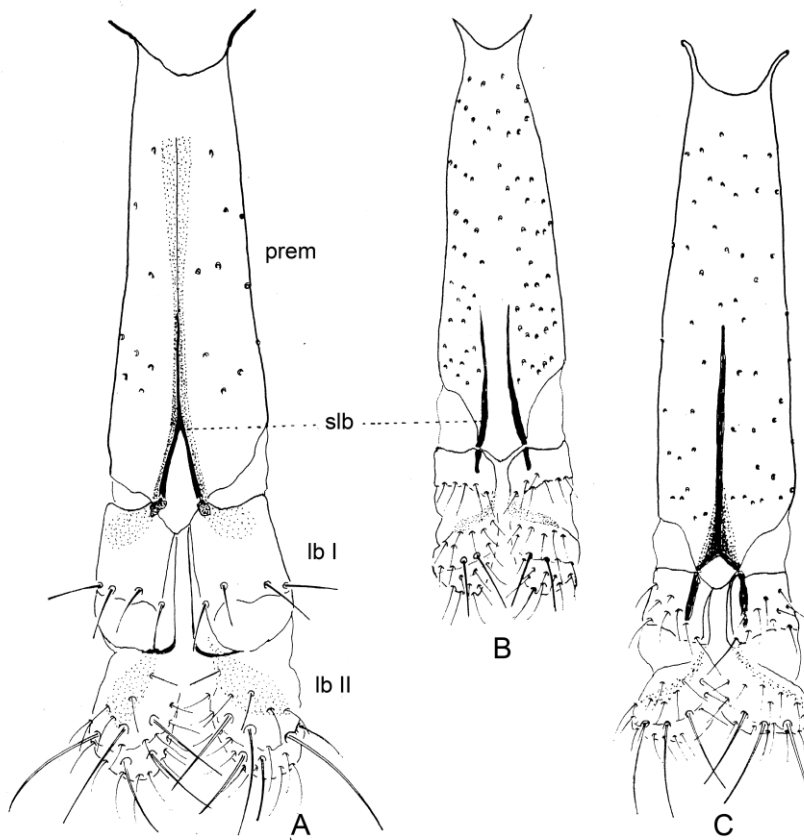
**Fig. 3.** Cabeça de fêmea de Phlebotominae em vista ventral: **bat** – braço anterior do tentório, **bpt** – braço posterior do tentório, **car** – cardo da maxila, **ci** – cibário, **cl** – clípeo, **de** – dentes externos da lacínia da maxila, **di** – dentes internos da lacínia da maxila, **est** – estipe da maxila, **fat** – fosseta anterior do tentório, **far** – faringe, **fb** – forquilha labial (furca labial), **fo** – forâmen occipital, **fpt** – fosseta posterior do tentório, **la** – lacínia da maxila, **lbl** – 1º labela, **Ibl** – 2º labela, **o** – olho, **oc** – occipício, **poc** – pós-occipício, **pohi** – ponte hipostomal, **posm** – pós-mento, **prem** – pré-mento, **p1** – 1º segmento palpal, **p2** – 2º segmento palpal, **p3** – 3º segmento palpal, **p4** – 4º segmento palpal, **p5** – 5º segmento palpal, **spoc** – sutura pós-ocular, **posge** – pós-gena. *Nyssomyia intermedia*



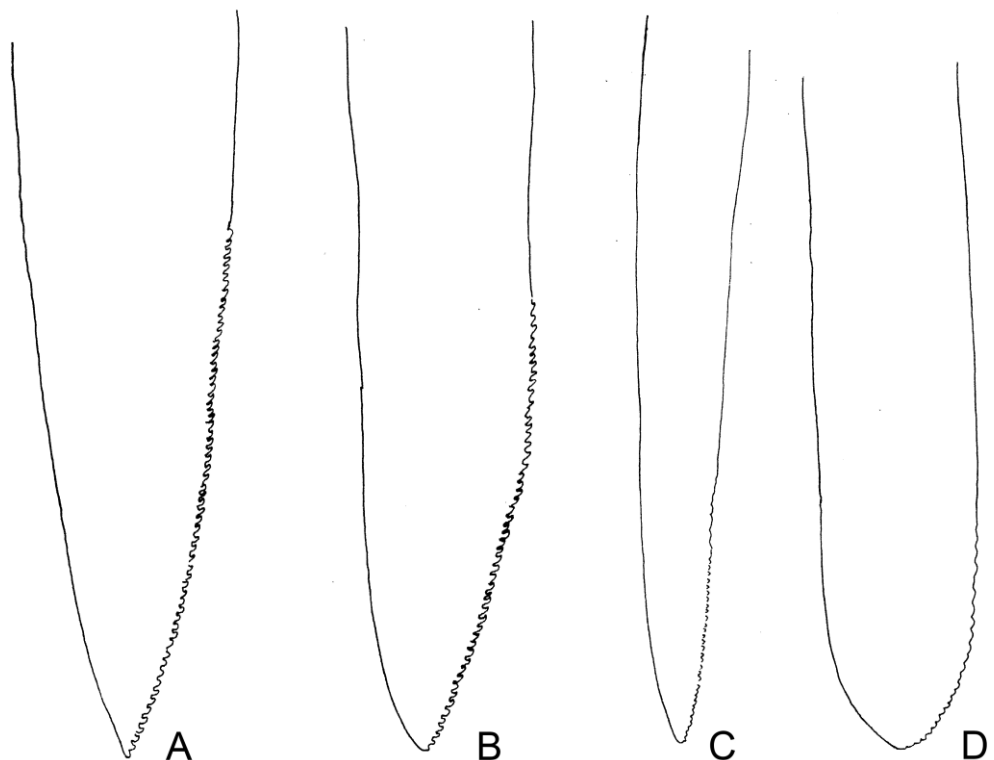
**Fig. 4.** Região apical do labro-epifaringe de fêmeas de Phlebotominae: **A** – *Warileya phlebotomanica*, **B** – *Micropygomyia vexator*, **C** – *Sciopemyia microps*, **D** – *Lutzomyia longipalpis*, **E** – *Lutzomyia peruvensis*.



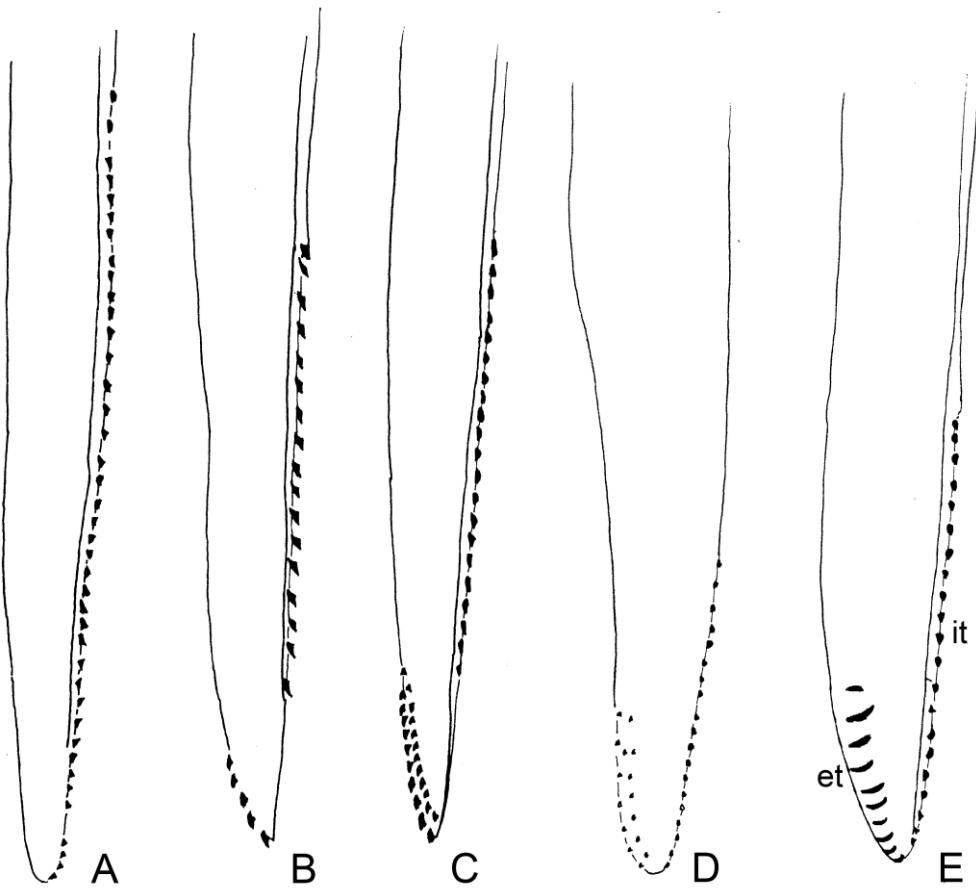
**Fig. 5.** Região apical de hipofaringe de fêmeas de Phlebotominae: **A** – *Warileya phlebotomanica*, **B** – *Nyssomyia intermedia*, **C** – *Lutzomyia longipalpis*, **D** – *Trichopygomyia longispina*, **E** – *Micropygomyia vexator*, **F** – *Sciopemyia sordellii*, **G** – *Micropygomyia cayennensis*.



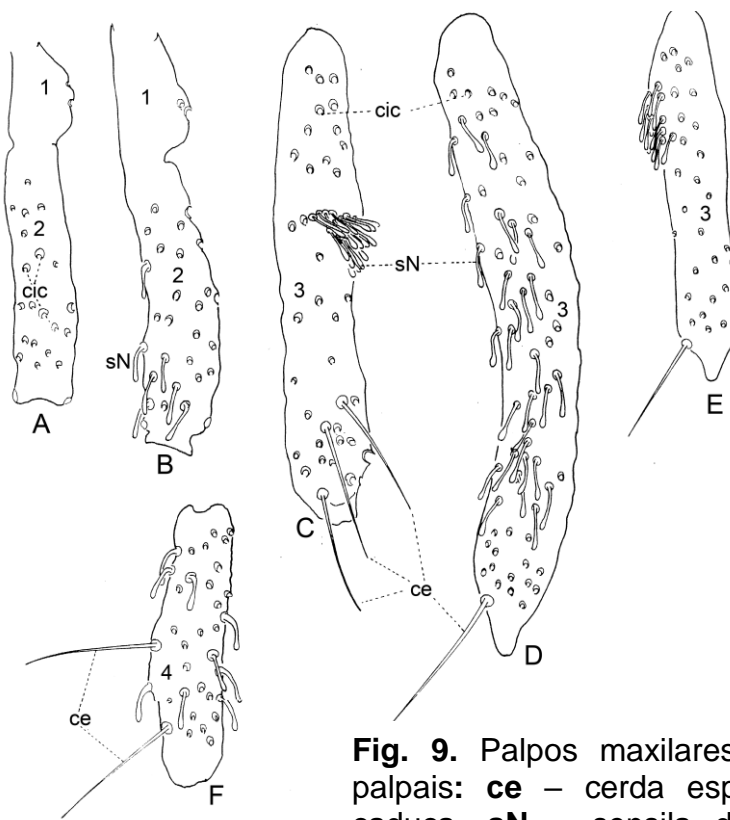
**Fig. 6.** Lábios de Phlebotominae em vista ventral: **lbI** – 1º labela, **lbII** – 2º labela, **prem** – pré-mento, **slb** – sutura labial, **A** – *Warileya phlebotomanica*, **B** – *Lutzomyia dispar*, **C** – *Psathyromyia shannoni*.



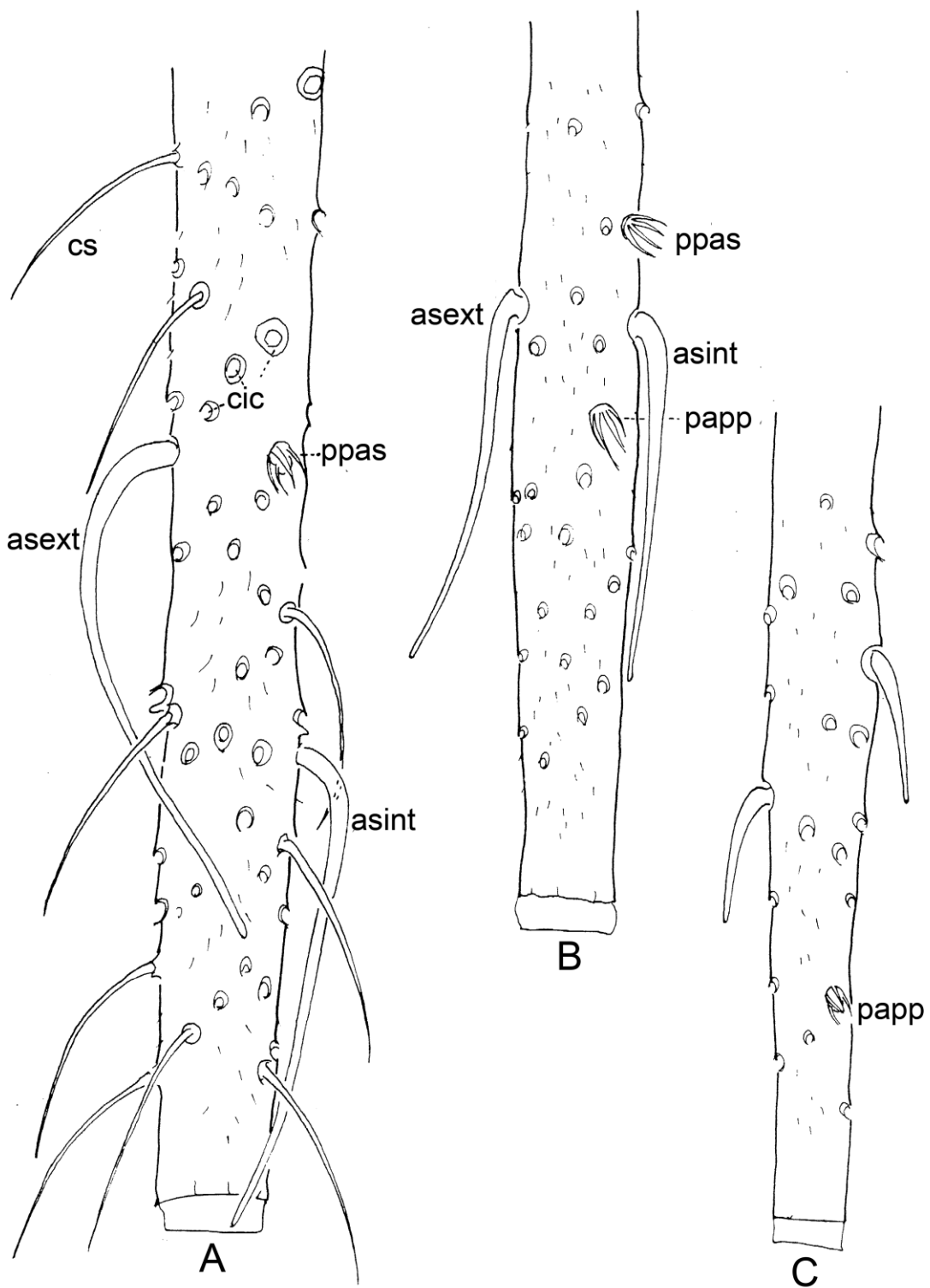
**Fig. 7.** Região apical da mandíbula de fêmeas de Phlebotominae: **A** – *Warileya phlebotomanica*, **B** – *Lutzomyia longipalpis*, **C** – *Sciopemyia microps*; **D** – *Micropygomyia vexator*.



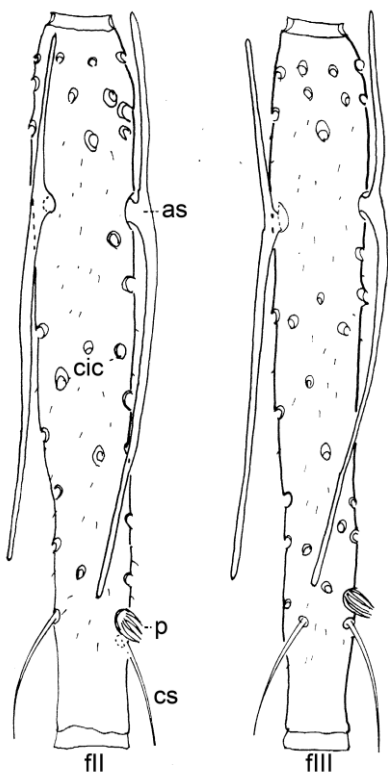
**Fig. 8.** Lacínias de maxilas de fêmeas de Phlebotominae: **de** – dentes externos, **di** – dentes internos. **A** – *Warileya phlebotomanica*, **B** – *Lutzomyia cruciata*, **C** – *Nyssomyia intermedia*, **D** – *Micropygomyia quinquefer*, **E** – *Micropygomyia longipennis*.



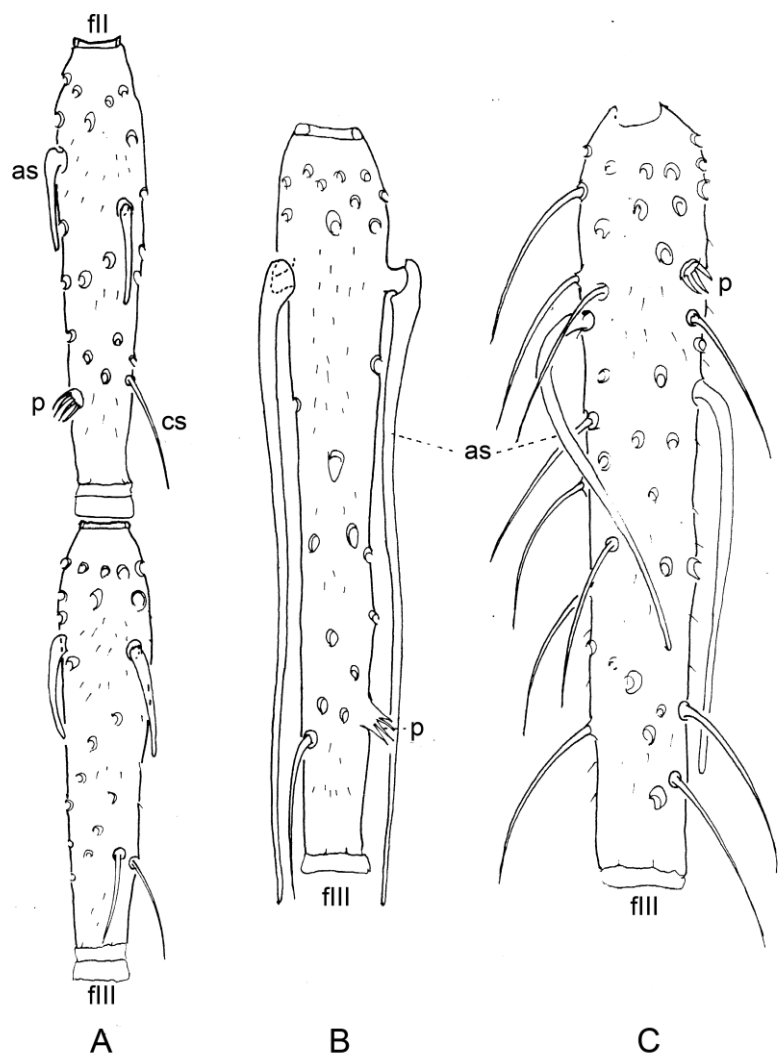
**Fig. 9.** Palpos maxilares de Phlebotominae: - segmentos palpaí: **ce** – cerda espiniforme, **cic** – cicatriz de cerda caduca, **sN** – sensila de Newstead. **A** – *Micropygomyia cayennensis*, **B** – *Psathyromyia aragaoi*, **C** – *Warileya phlebotomanica*, **D** – *Pintomyia fischeri*, **E** – *Micropygomyia cayennensis*, **F** – *Psathyromyia aragaoi*.



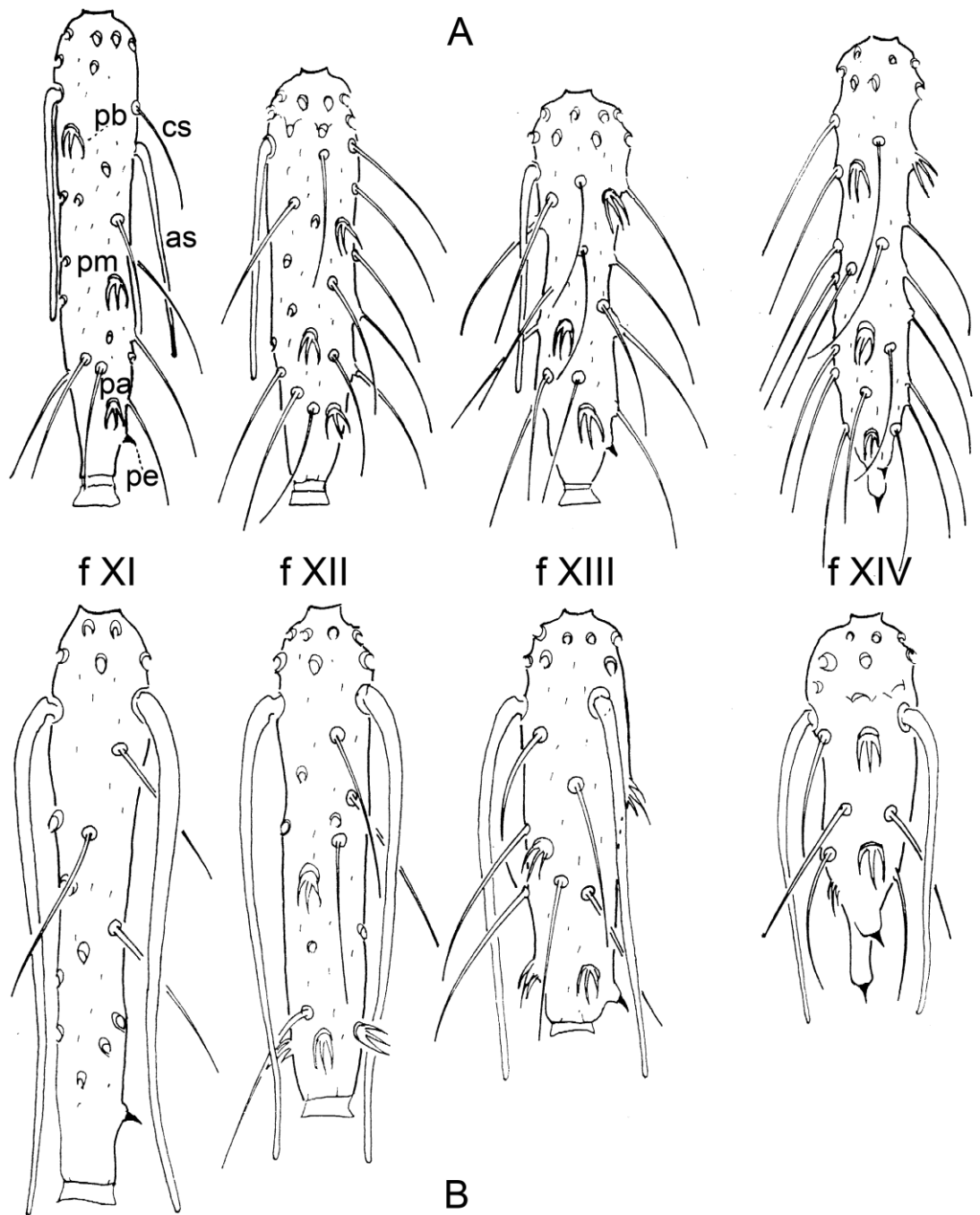
**Fig. 10.** Flagelômero I da antena (fl) de Phlebotominae: **asext** – ascóide externo, **asint** – ascóide interno, **cic** – cicatriz de cerda caduca, **cs** – cerda simples, **ppap** – papila pré-apical, **ppas** – papila pré-ascoidal. **A** – *Warileya phlebotomanica*, **B** – *Psychodopygus squamiventris*, **C** – *Pintomyia (Pif.) verrucarum*.



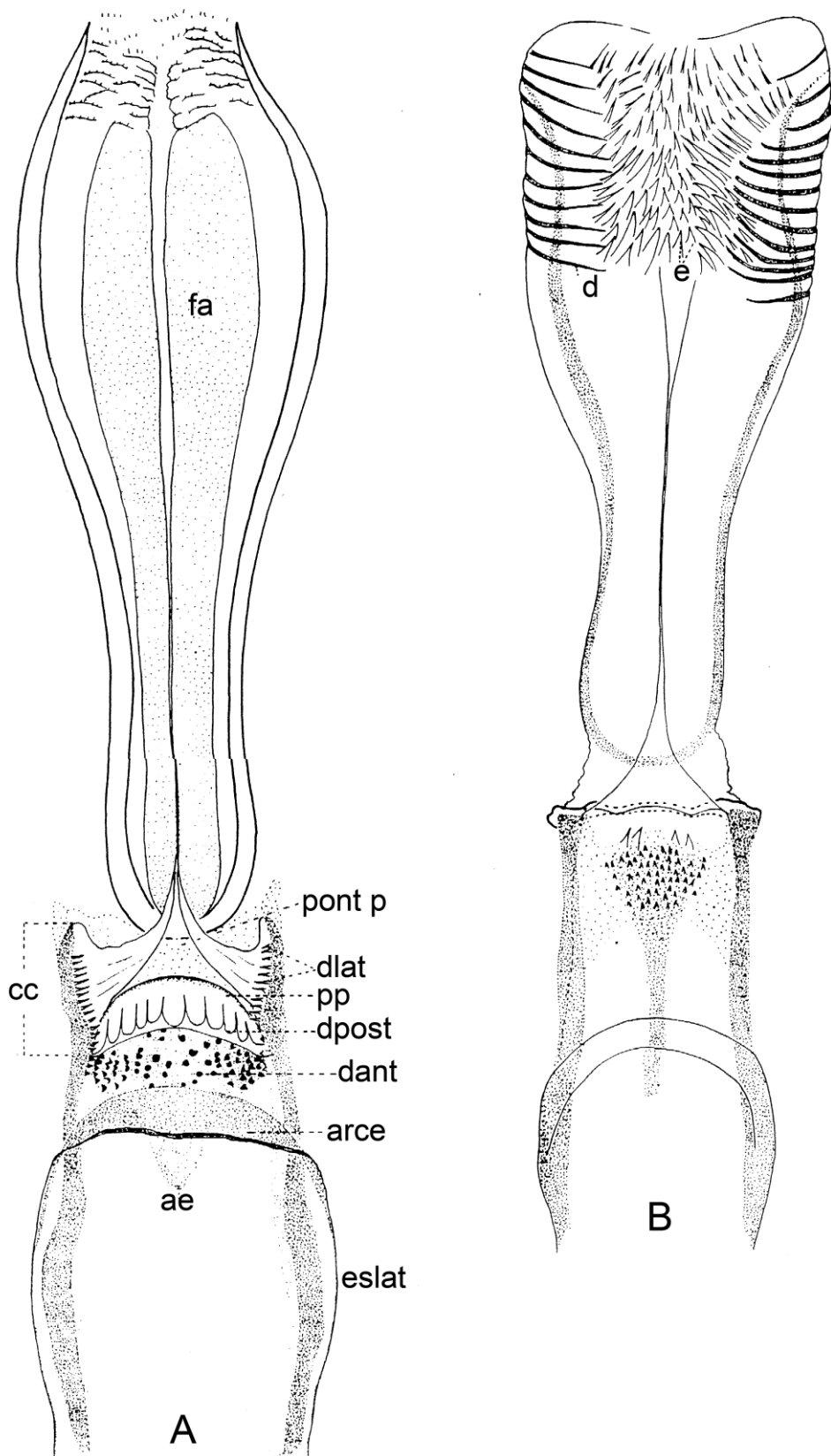
**Fig. 11.** Flagelômeros. fII e fIII, de Phlebotominae: **as** – ascóide, **cic** – cicatriz de cerda caduca, **cs** – cerda simples, **p** – papila. *Psathyromyia shannoni*.



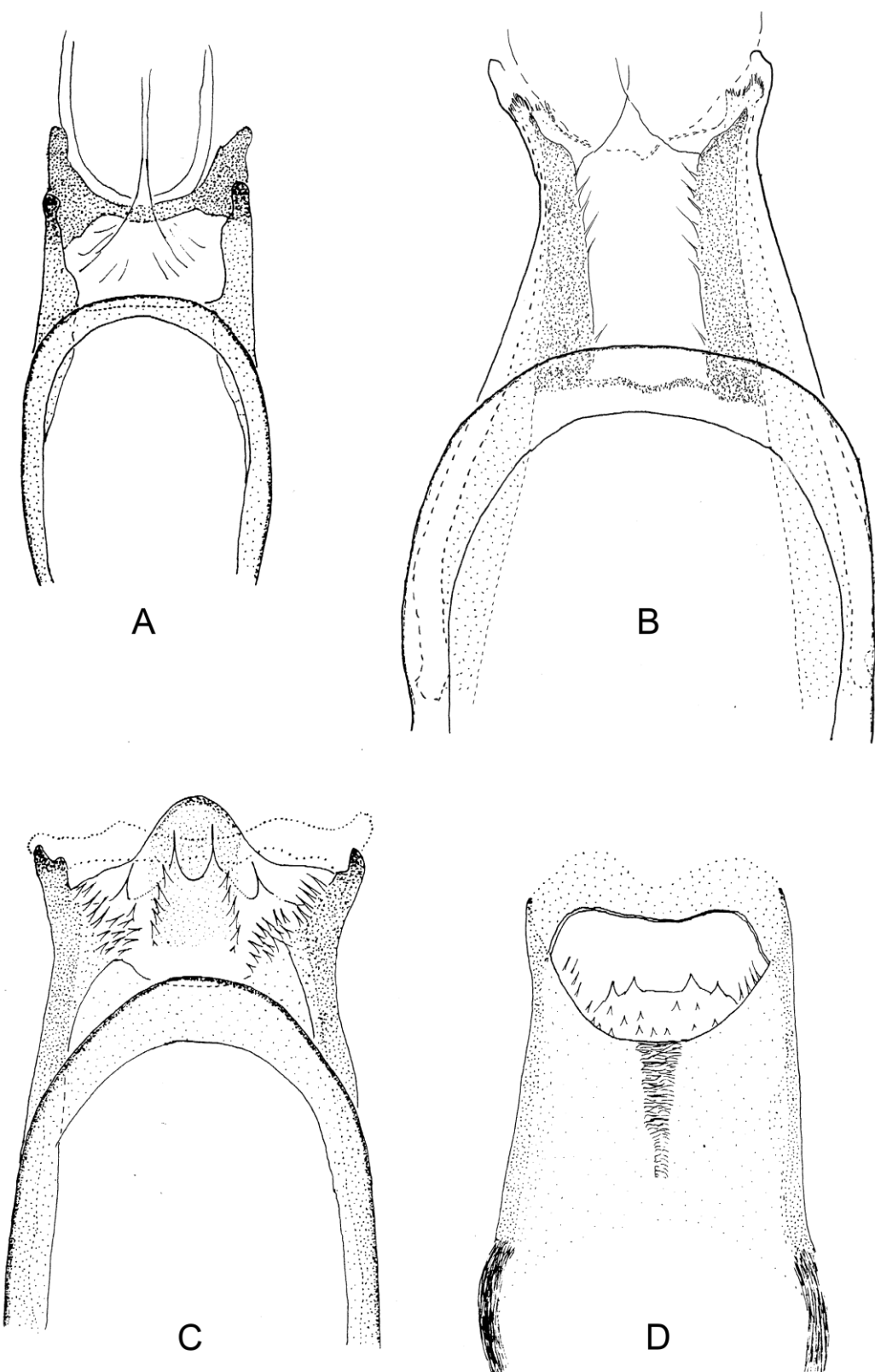
**Fig. 12.** Flagelômeros, fII e fIII, de Phlebotominae: **as** – ascóide, **cic** – cicatriz de cerda caduca, **cs** – cerda simples, **p** – papila. **A** – *Pintomyia (Pifanomyia) ovallesi*, **B** - *Psathyromyia lanei*, **C** – *Warileya phlebotomanica*.



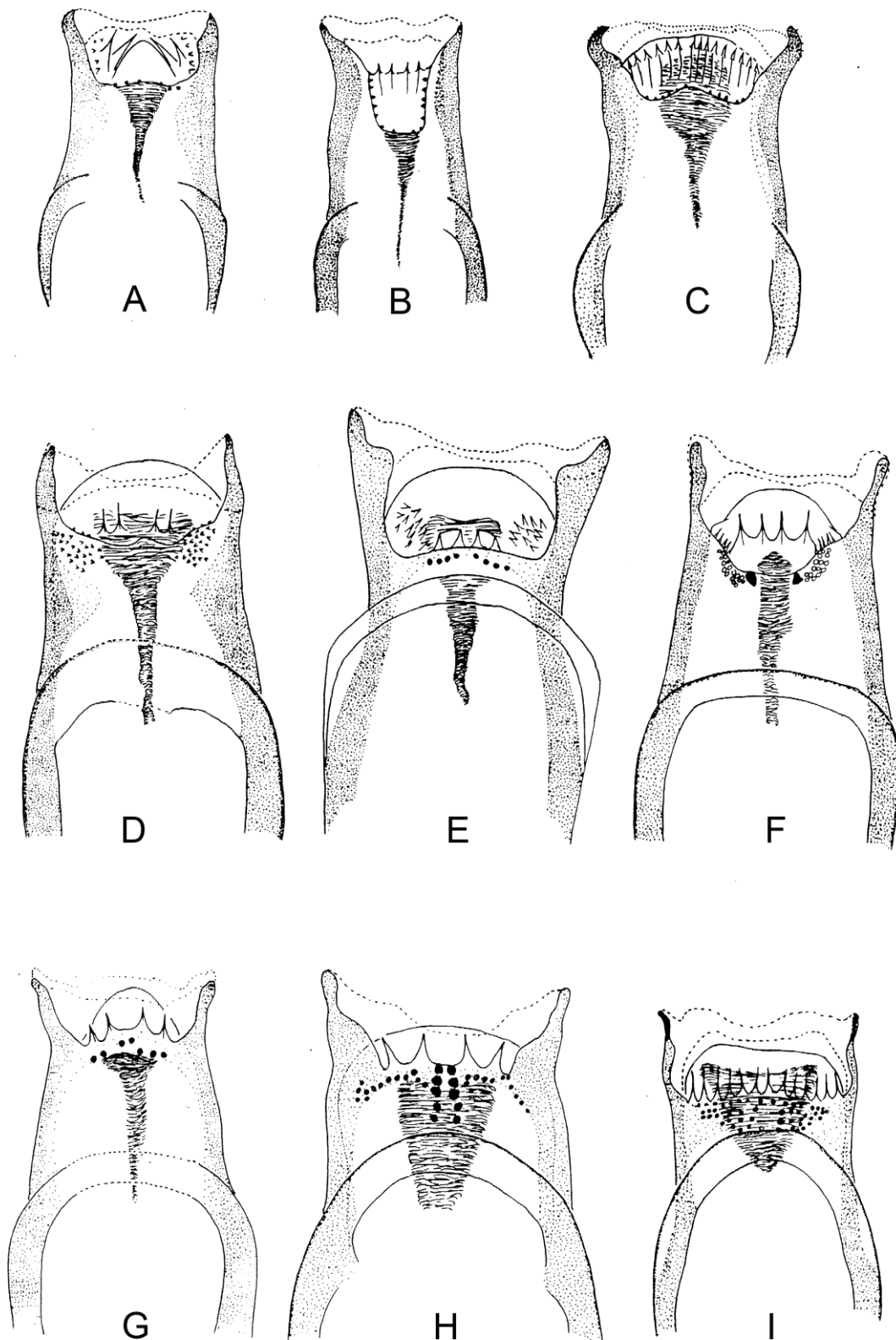
**Fig. 13.** Flagelômeros apicais das antenas, fXI–fXIV de Phlebotominae: **as** – ascóide, **cs** – cerda simples, **pa** – papila apical, **pb** – papila basal, **pe** – papila espiniforme, **pm** – papila mediana. **A** – *Evandromyia tupynambai*, **B** – *Trichophoromyia ubiquitalis*



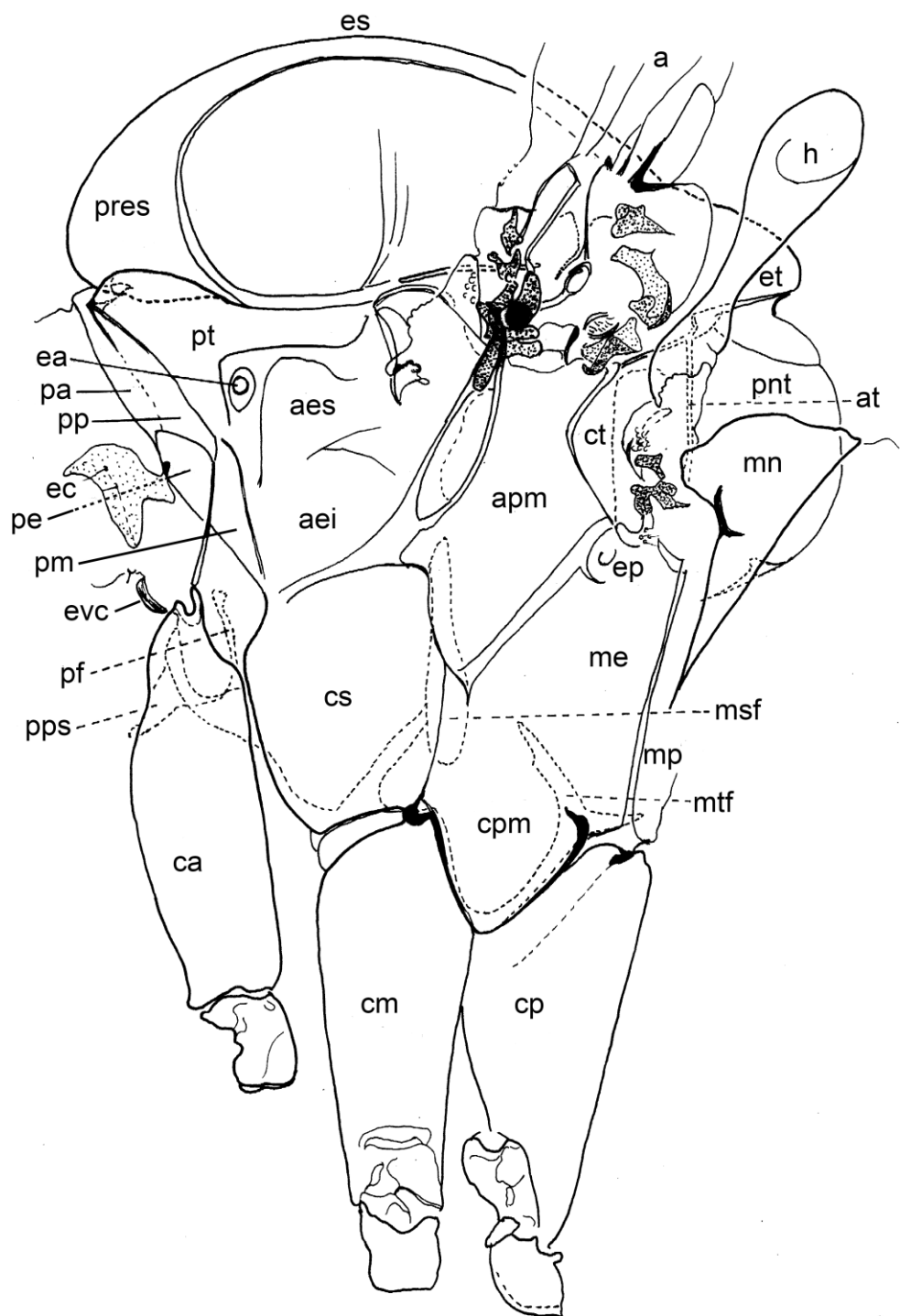
**Fig. 14.** Cibários e faringes de fêmeas de Phlebotominae: **ae** – área esclerosada, **arce** – arco esclerosado, **cc** – câmara do cíbario, **d** – dobras, **e** – espinhos, **dant** – dentes anteriores, **dlat** – dentes laterais, **dpost** – dentes posteriores, **eslat** – esclerito lateral, **fa** – faringe, **pont p** – ponte posterior, **pp** – protuberância posterior, **A** – *Bichromomyia flavigutellata*, **B** – *Micropygomyia atroclavata*.



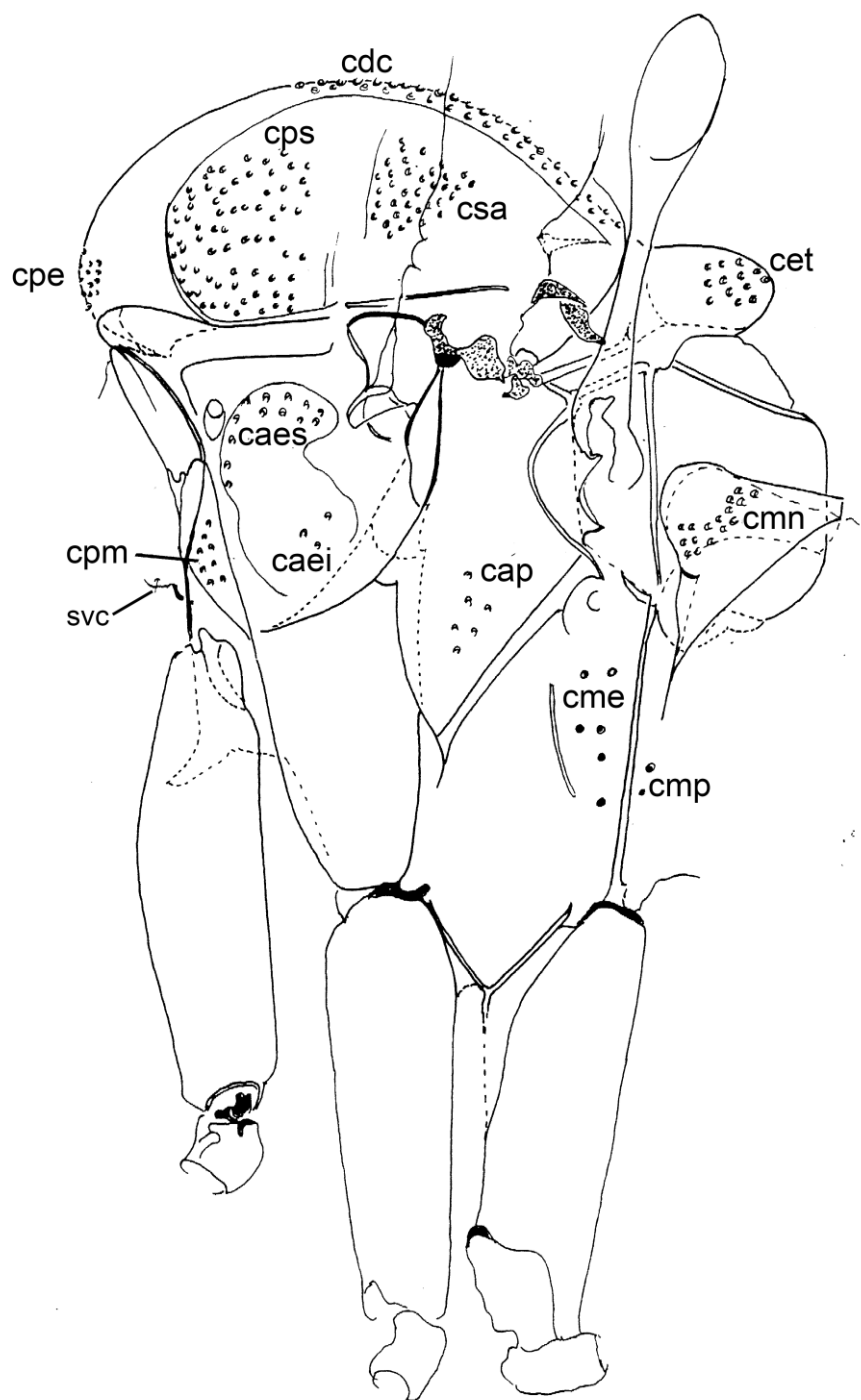
**Fig. 15.** Cibários de Phlebotominae: **A** – *Warileya* sp, **B** – *Edentomyia piauiensis*, **C** – *Brumptomyia* sp., **D** – *Lutzomyia amarali*.



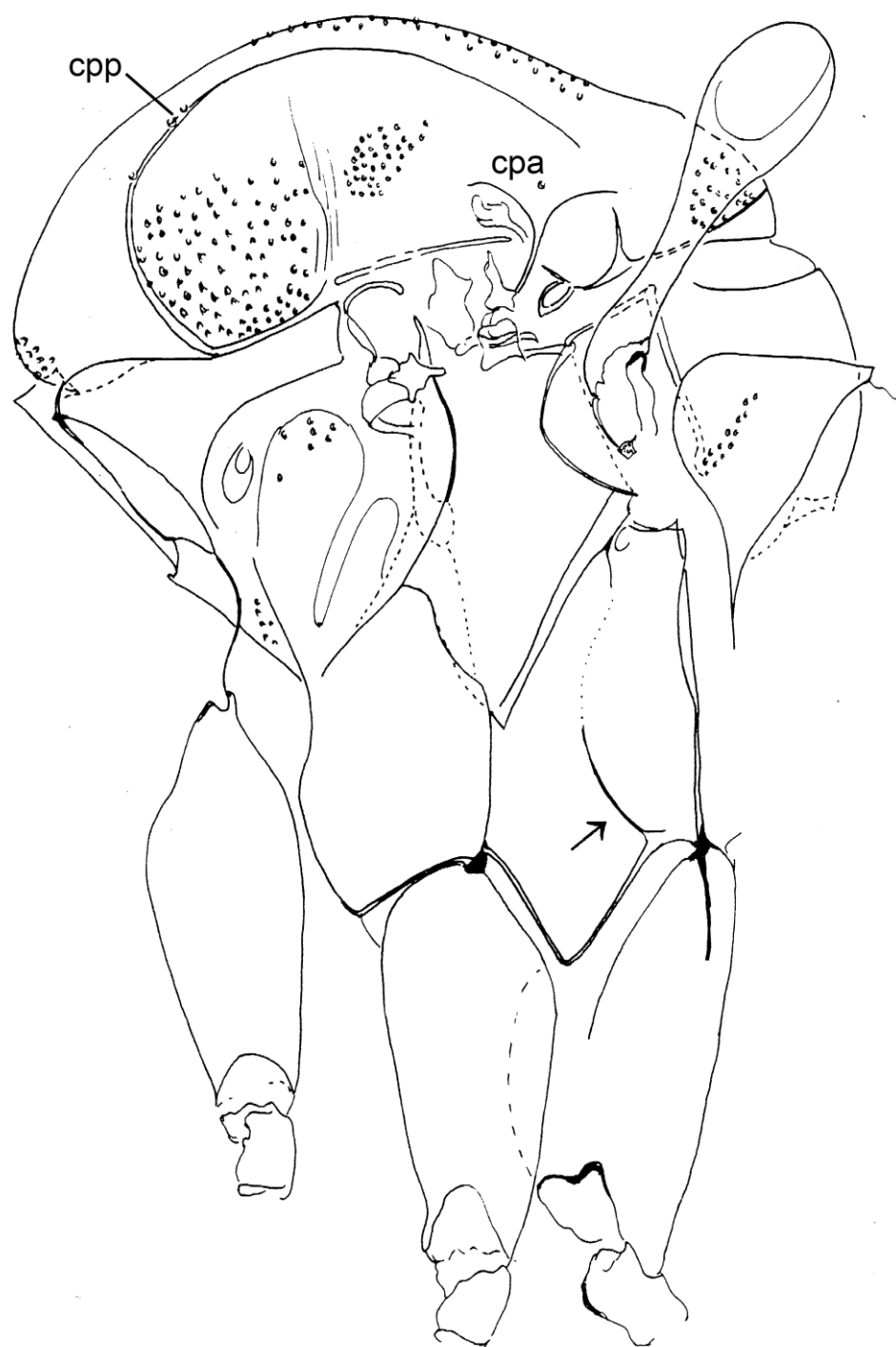
**Fig. 16.** Cibários de Phlebotominae: **A** – *Sciopemyia sordellii*, **B** – *Micropygomyia pilosa*, **C** – *Mi. (Mic.) cayennensis*, **D** – *Evandromyia walkeri*, **E** – *Dampfomyia anthophora*, **F** – *Pressatia triacantha*, **G** – *Lutzomyia cruciata*, **H** – *Psychodopygus panamensis*, **I** – *Trichophoromyia ubiquitalis*.



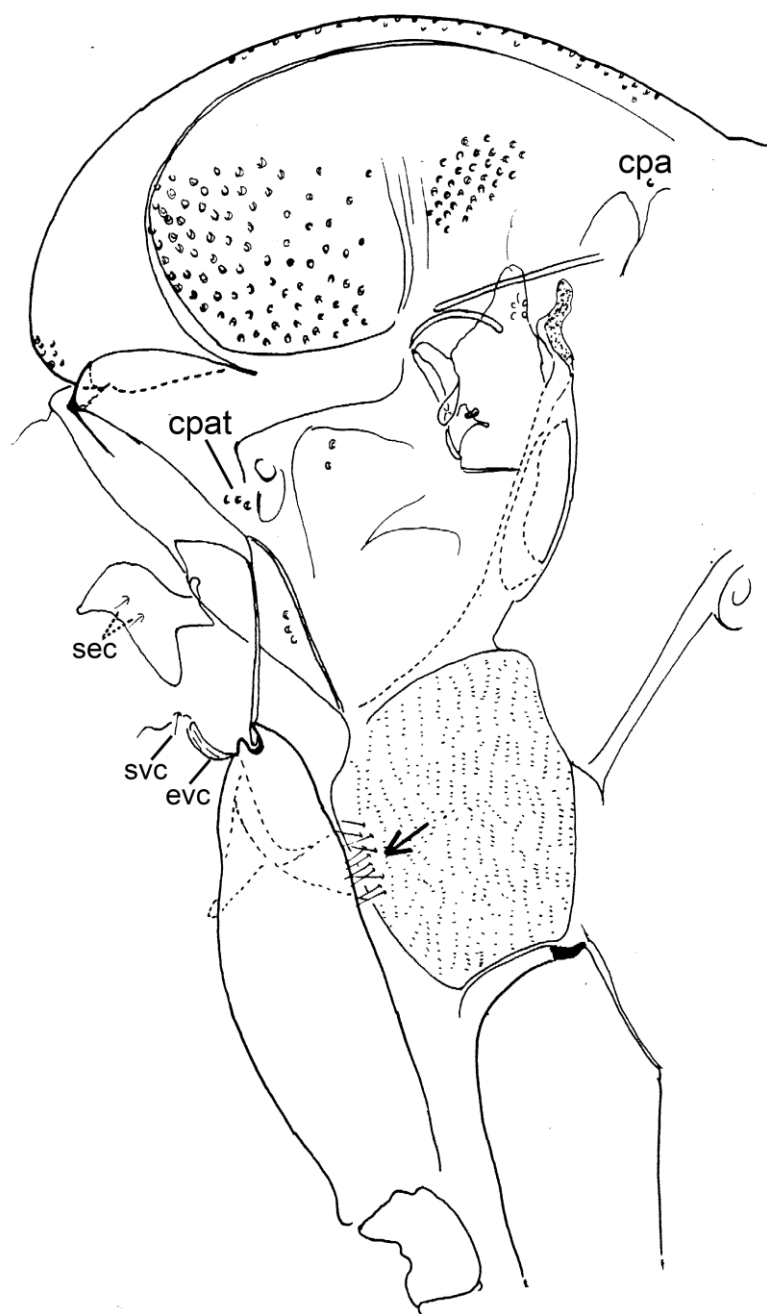
**Fig. 17.** Cérvix e Tórax de Phlebotominae em vista lateral. **Cérvix:** ec – esclerito cervical com um par de sensilas, evc – esclerito ventro-cervical. **Tórax:** a – asa, aeis – anepisterno inferior, aes – anepisterno superior, apm – anepimero, at – anatergito, ca – coxa anterior, cm – coxa mediana, cp – coxa posterior, cpm – catepimero, cs – catepisterno, ct – catatergito, ea – espiráculo anterior, ep – espiráculo posterior, es – escudo, et – escutelo, h – halter, me – metepisterno, mn – metanoto, mp – metepimero, msf – mesofurca, mtf – metafurca, pa – pronoto anterior, pp – pronoto posterior, pe – proepisterno, pf – profurca, pm – proepimero, pnt – pós-noto, pps – protuberância do prosterno, pres – pré-escudo, pt – paratergito.



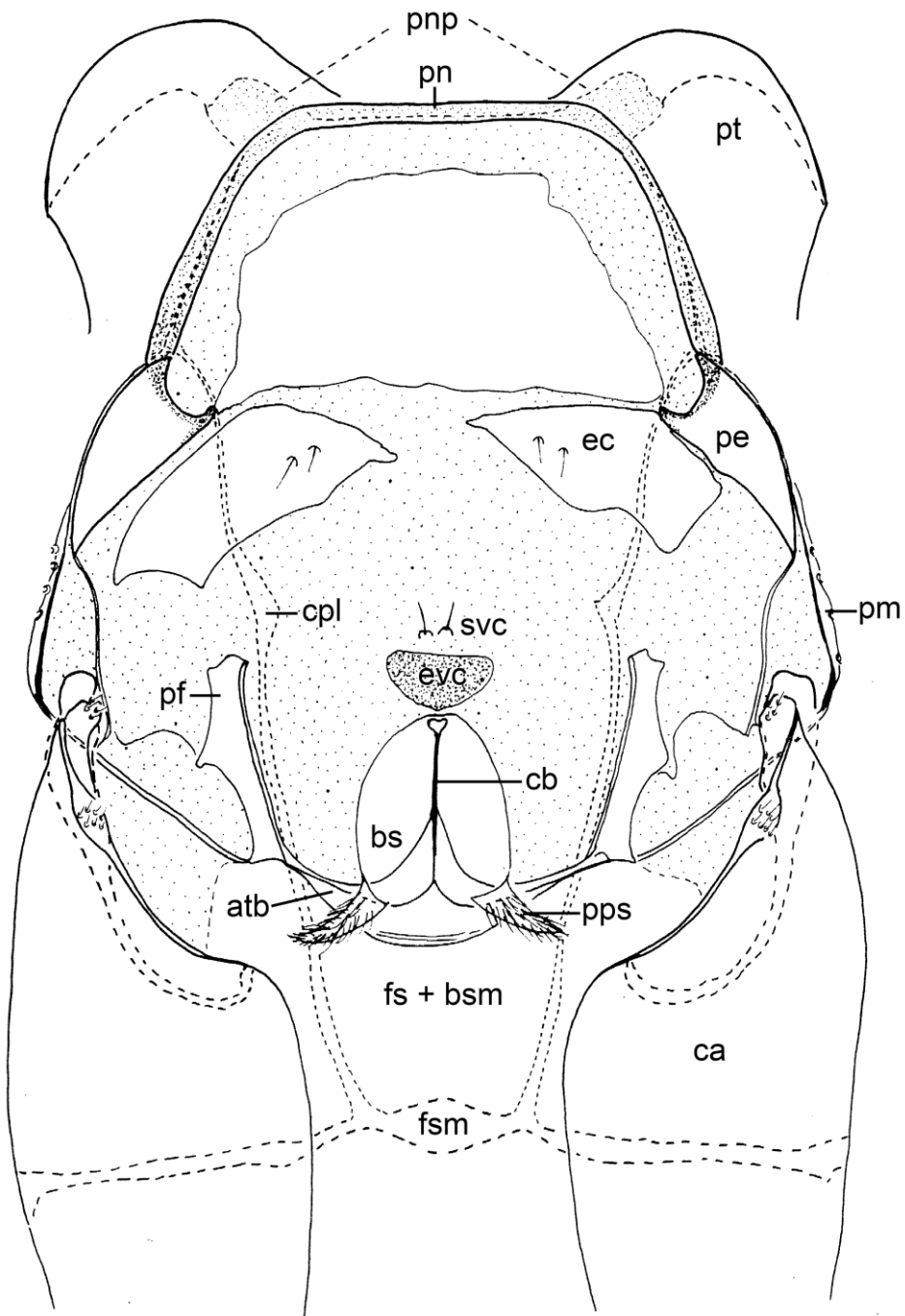
**Fig. 18.** Quetotaxia do tórax de Phlebotominae em vista lateral: **cai** – cerdas anepisternais inferiores, **cap** – cerdas anepimerais, **caes** – cerdas anepisternais superiores, **cdc** – cerdas dorso centrais, **ce** – cerdas escutelares, **cme** – cerdas metepisternais, **cmn** – cerdas metanotais, **cmp** – cerdas metepimerais, **cpe** – cerdas prescutais, **cpm** – cerdas proepimerais, **cps** – cerdas pré-suturais, **csa** – cerdas supralares, **svc** – sensila ventro-cervical. *Brumptomyia pintoi*.



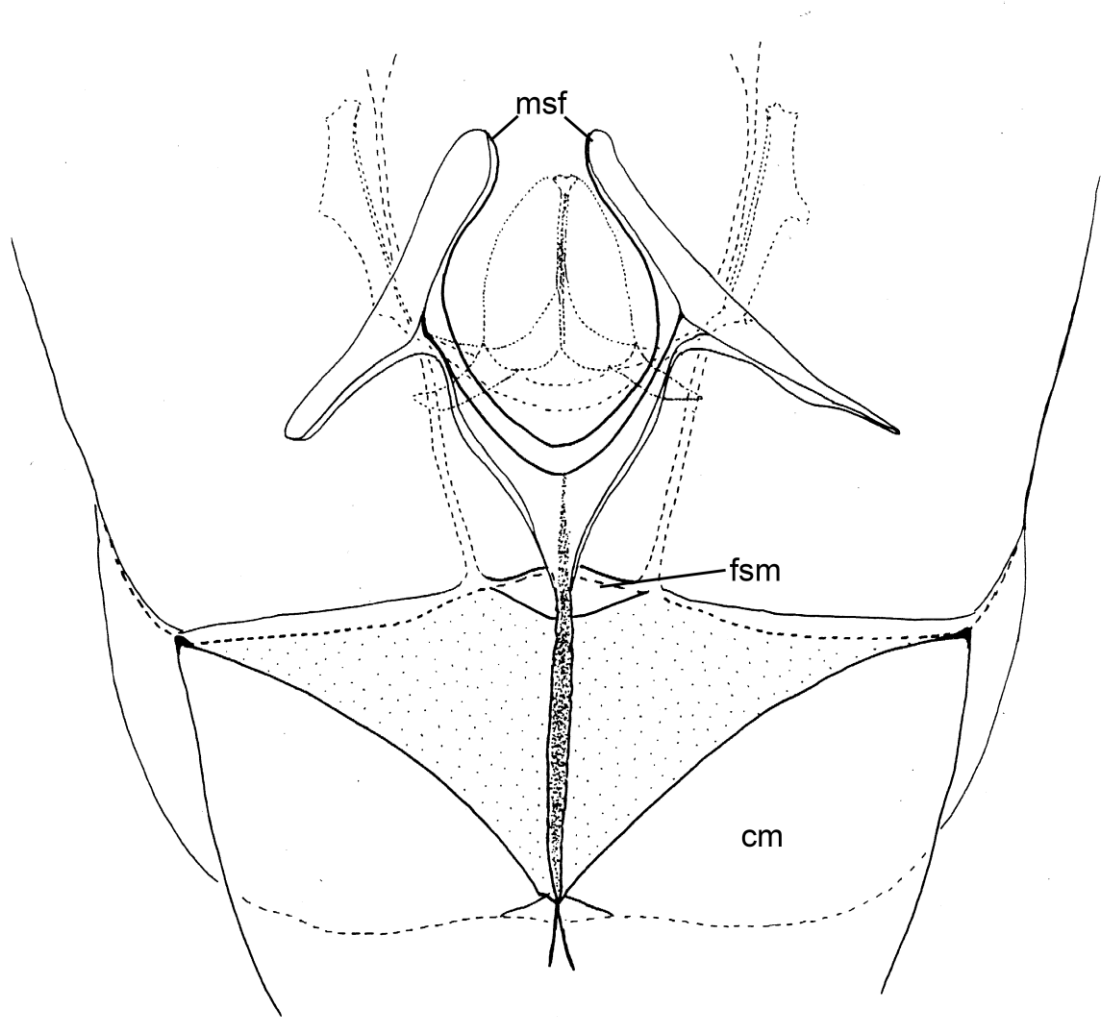
**Fig. 19.** Tórax de Phlebotominae em vista lateral com indicação de caracteres em estado primitivo: **seta** – indicando a sutura longa que separa o catepímero do metepisterno, **cpa** – cerda pós-alar, **cpp** – cerdas parapsidais. *Oligodontomyia toroensis*.



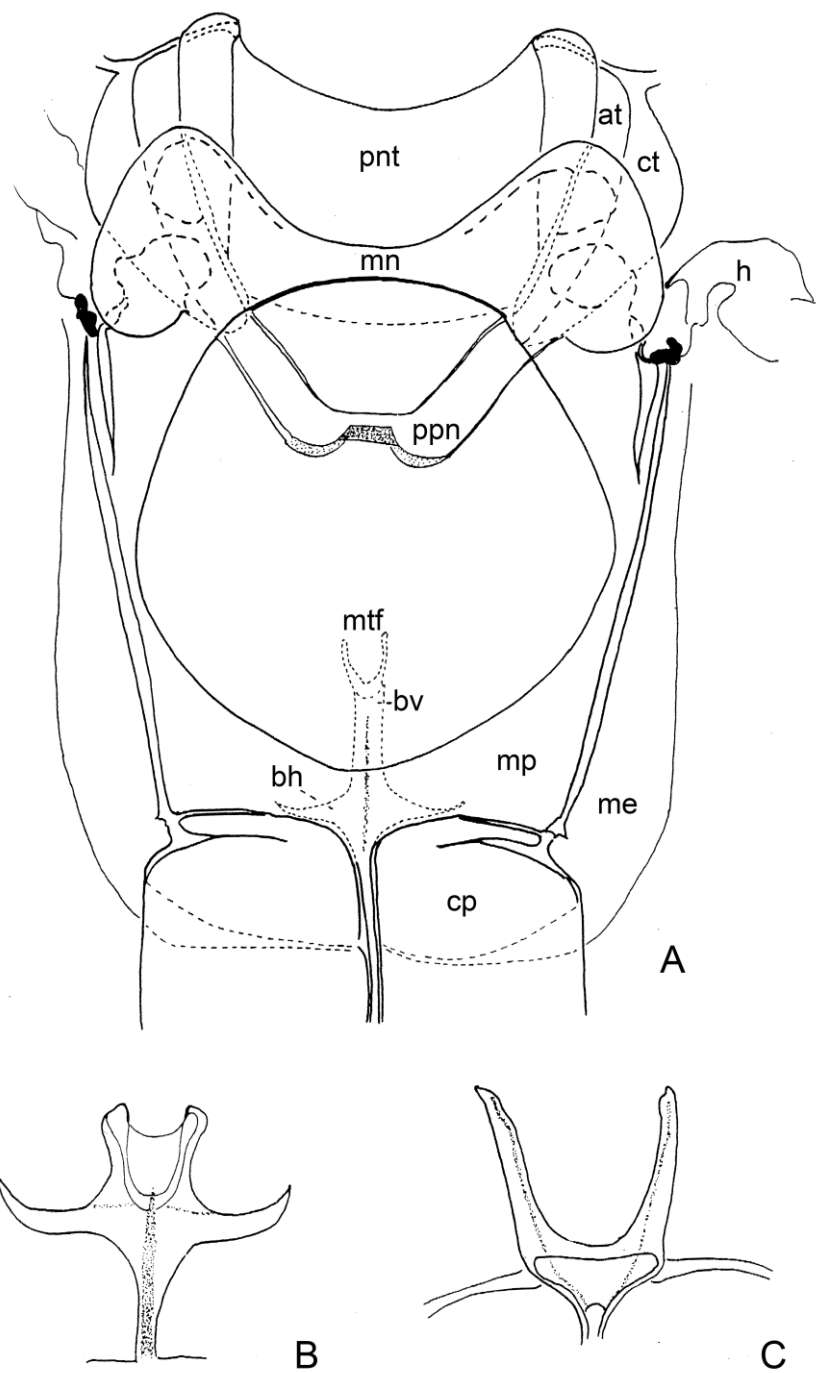
**Fig. 20.** Tórax em vista lateral: **seta** – indicando a cerdosidade na região anterior do catépisterno, **cpat** – cerdas no paratergito, **cpa** – cerda pós-alar, **evc** – esclerito ventro-cervical, **sec** – sensilas do esclerito cervical, **svc** – sensila ventro-cervical. *Deanemyia samueli*.



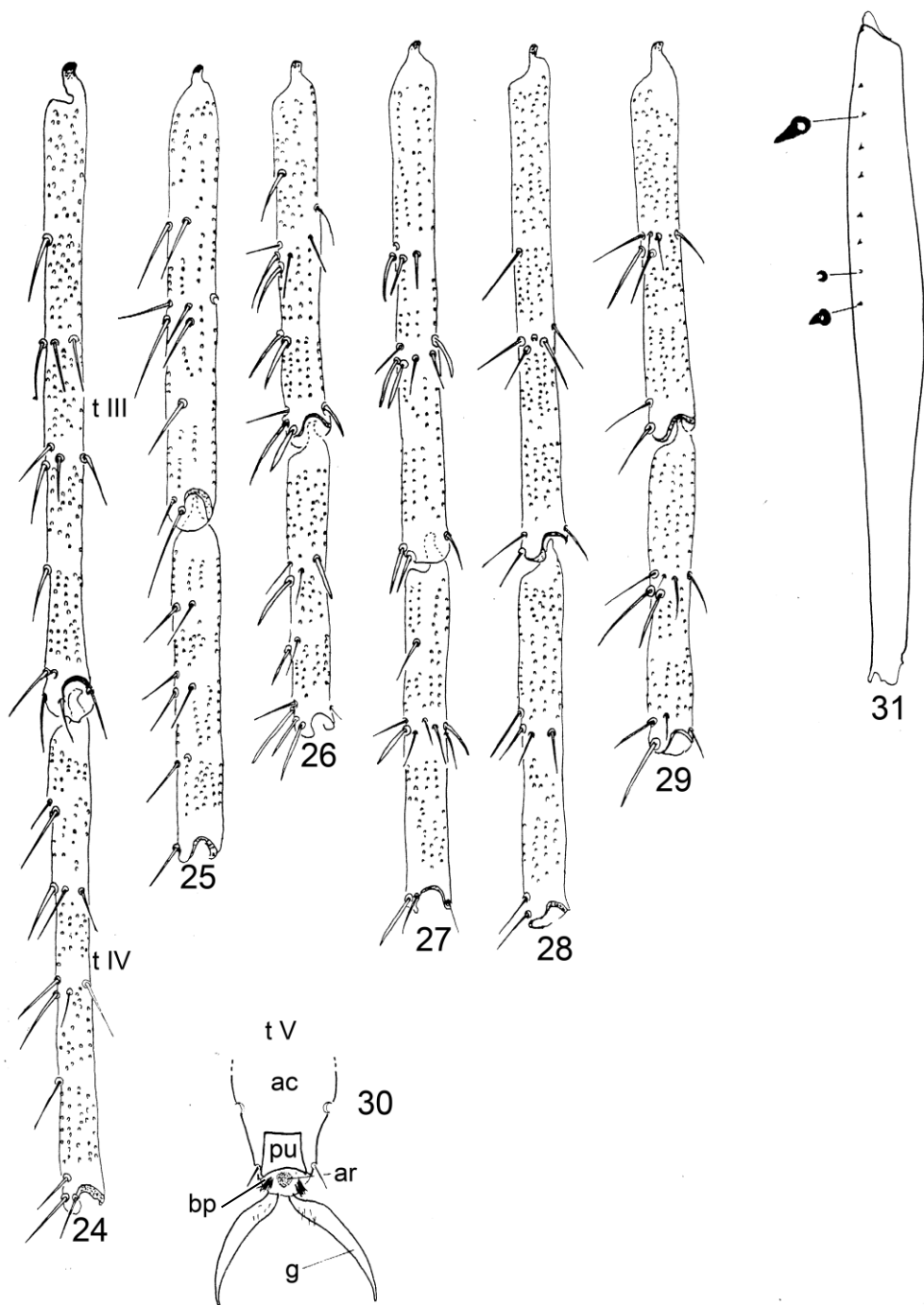
**Fig. 21.** Cérvix e Protórax de Phlebotominae em vista frontal: **atb** – apódema transverso do basisterno, **bs** – basisterno do prosterno, **bms** – basisterno do mesosterno, **ca** – coxa anterior, **cb** – carena do basisterno do prosterno, **cpl** – carena pleural, **ec** – esclerito cervical com o par de sensilas **evc** – esclerito ventro-cervical, **fs** – furcasterno do prosterno, **fsm** – furcasterno do mesosterno, **pe** – proepisterno, **pf** – profurca, **pm** – proepimeron, **pn** – pronoto, **pnp** – pronoto posterior, **pps** – protuberância do prosterno, **pt** – paratergito, **svc** – sensila ventro-cervical.



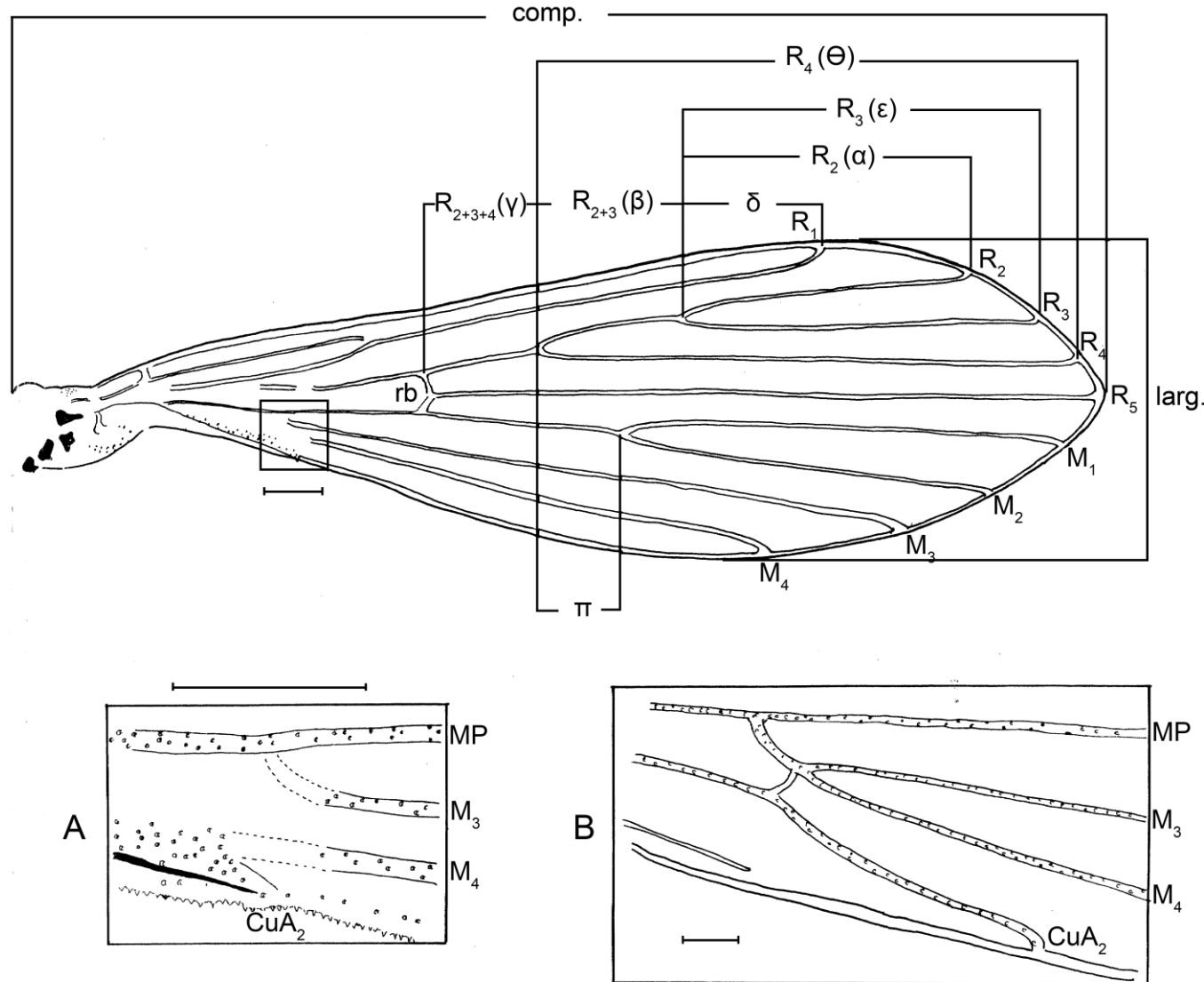
**Fig. 22.** Mesosterno de Phlebotominae em vista frontal: **cm** – coxa mediana, **fsm** – furcasterno do mesosterno, **msf** – mesofurca



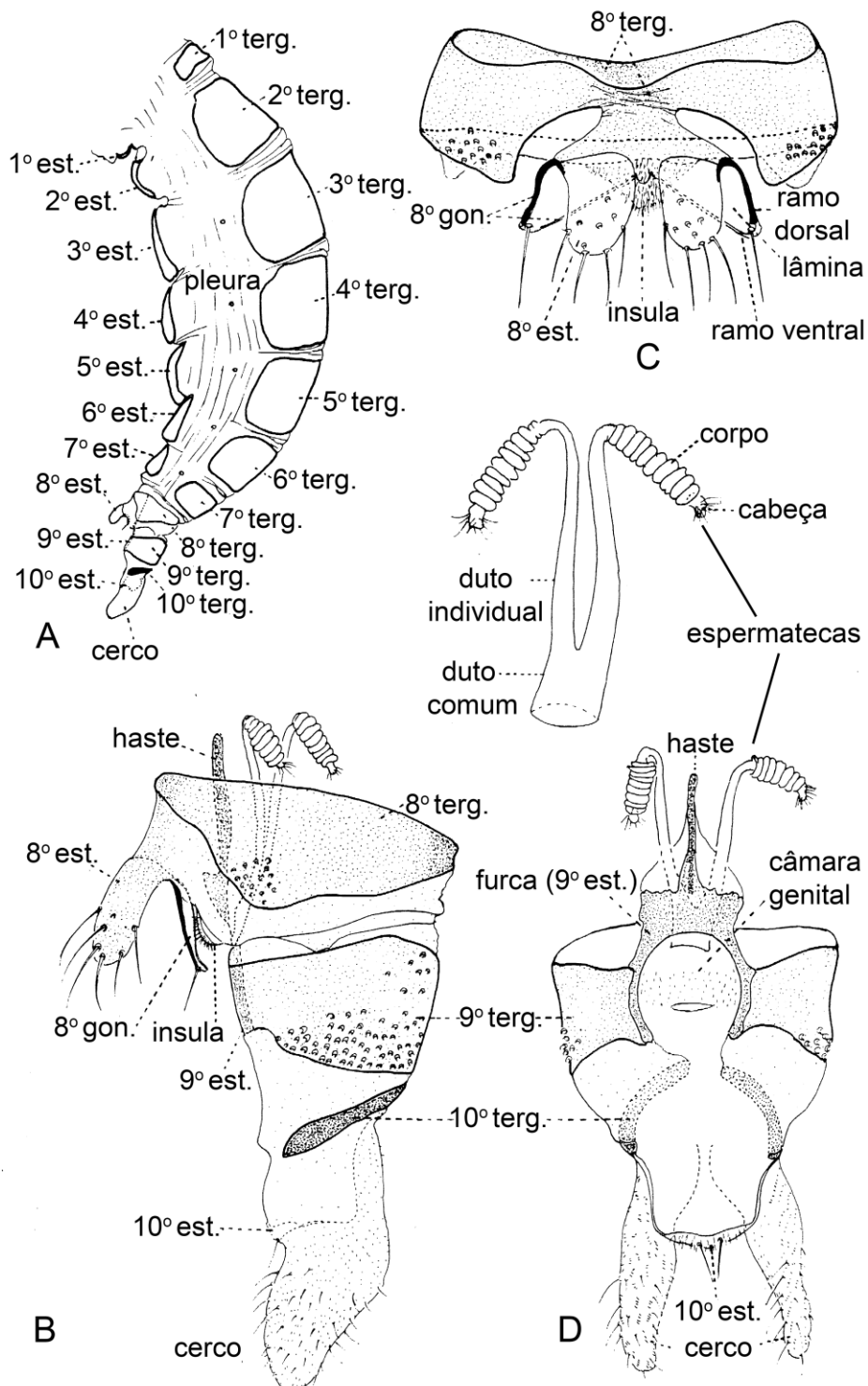
**Fig. 23.** Metatórax de Phlebotominae em vista posterior e aspectos da metafurca: **at** – anatergito, **bh** – braço horizontal da metafurca, **bv** – braço vertical da metafurca, **cp** – coxa posterior, **ct** – catatergito, **h** – halter, **me** – metepsísterno, **mn** – metanoto, **mp** – metepímero, **mtf** – metafurca, **pnt** – pós-noto, **ppn** – ponte posnotal, **A** – *Nyssomyia intermedia*, **B** – *Brumptomyia brumpti*, **C** – *Warileya phlebotomanica*.



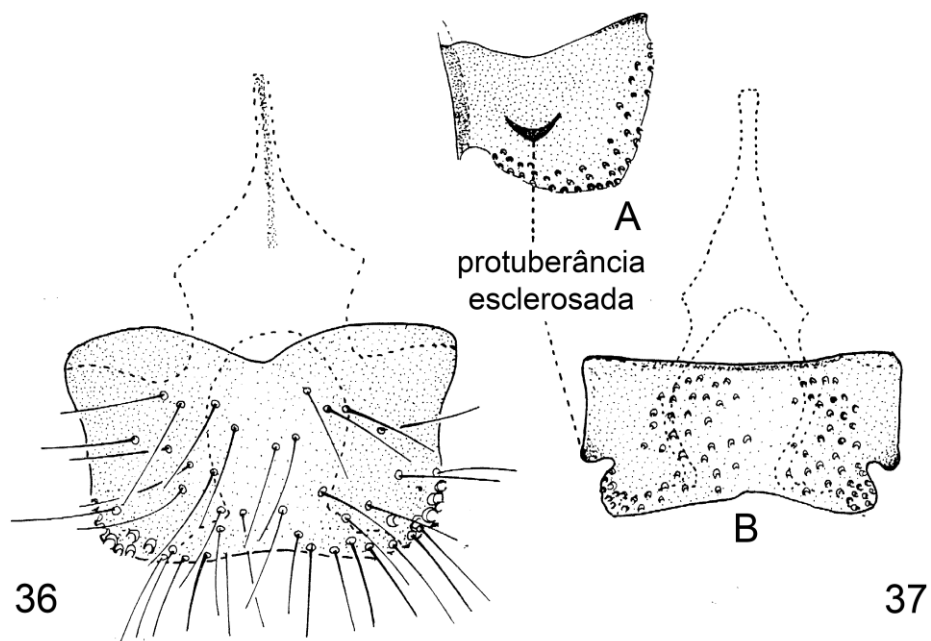
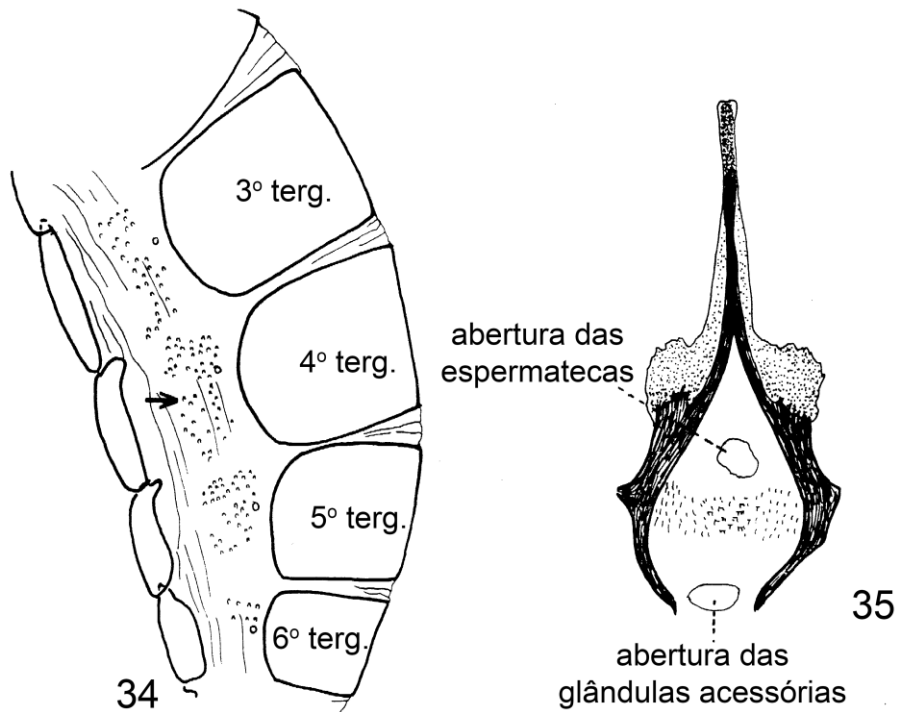
**Figs. 24–31.** Aspectos de pernas de Phlebotominae: tarsômeros II e IV mostrando os níveis de implantação dos espinhos tarsais. **24** – *Lu. peruensis*, **25** – *Pi. monticola*, **26** – *Lu. longipalpis*, **27** – *Pa. shannoni*, **28** – *Ma. alphabetic*a, **29** – *Sc. sordellii*, **30** – Segmentos apicais do tarso V. **ac** – acrópodo, **ar** – arólio, **bp** – basipulvilo, **g** – garra, **pu** – placa unguitactorial. **31** – fêmur posterior com uma fileira de espinhos na face interna: *Pintomyia fischeri*.



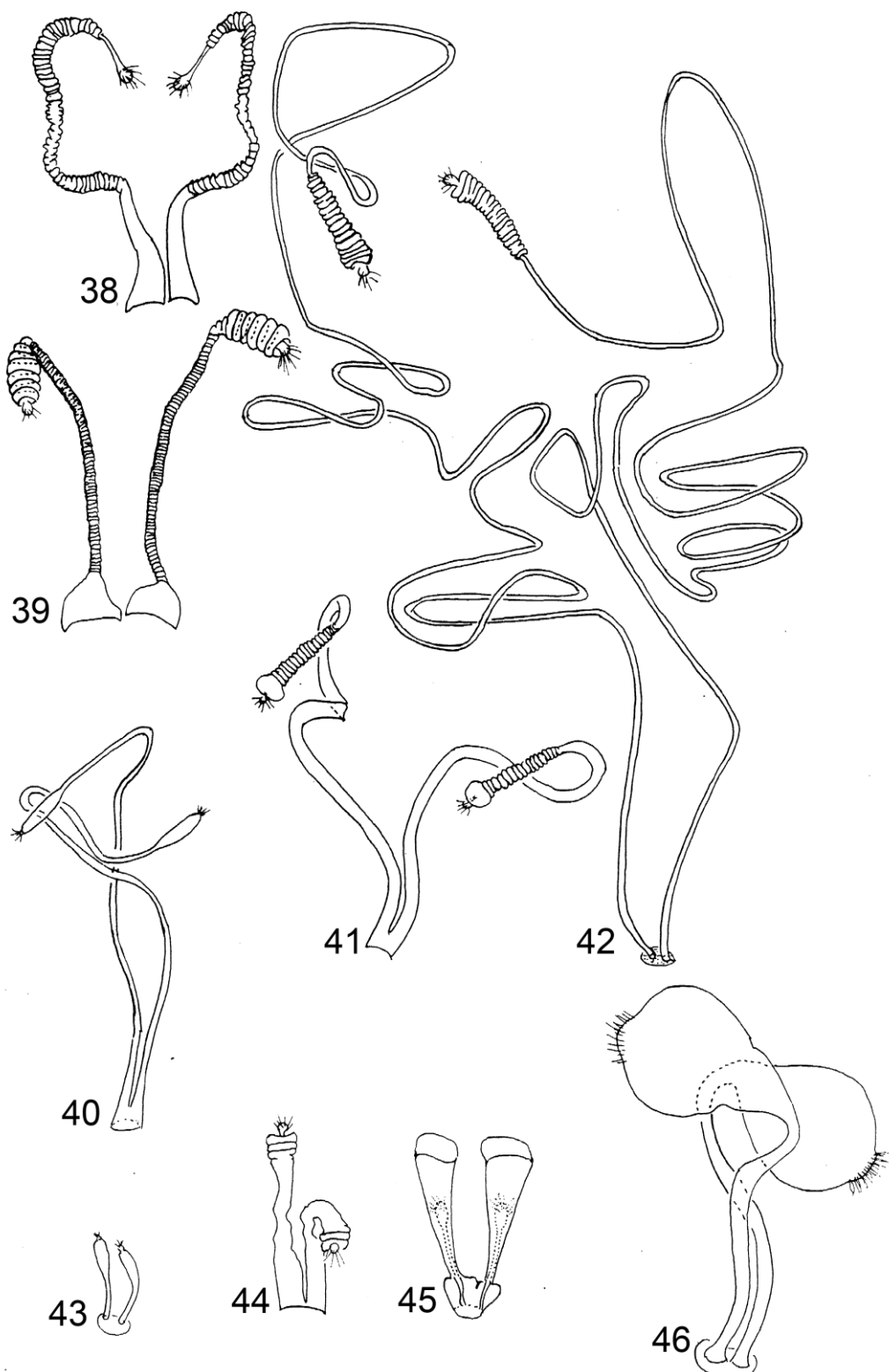
**Fig. 32.** Asa de Phlebotominae e detalhe das nervuras  $M_3$  e  $M_4$  em Bruchomyiinae (grupo irmão de Phlebotominae) com representação das principais medidas – A e B ampliação da base das nervuras  $M_3$  e  $M_4$ : A – Phlebotominae, B – Bruchomyiinae.



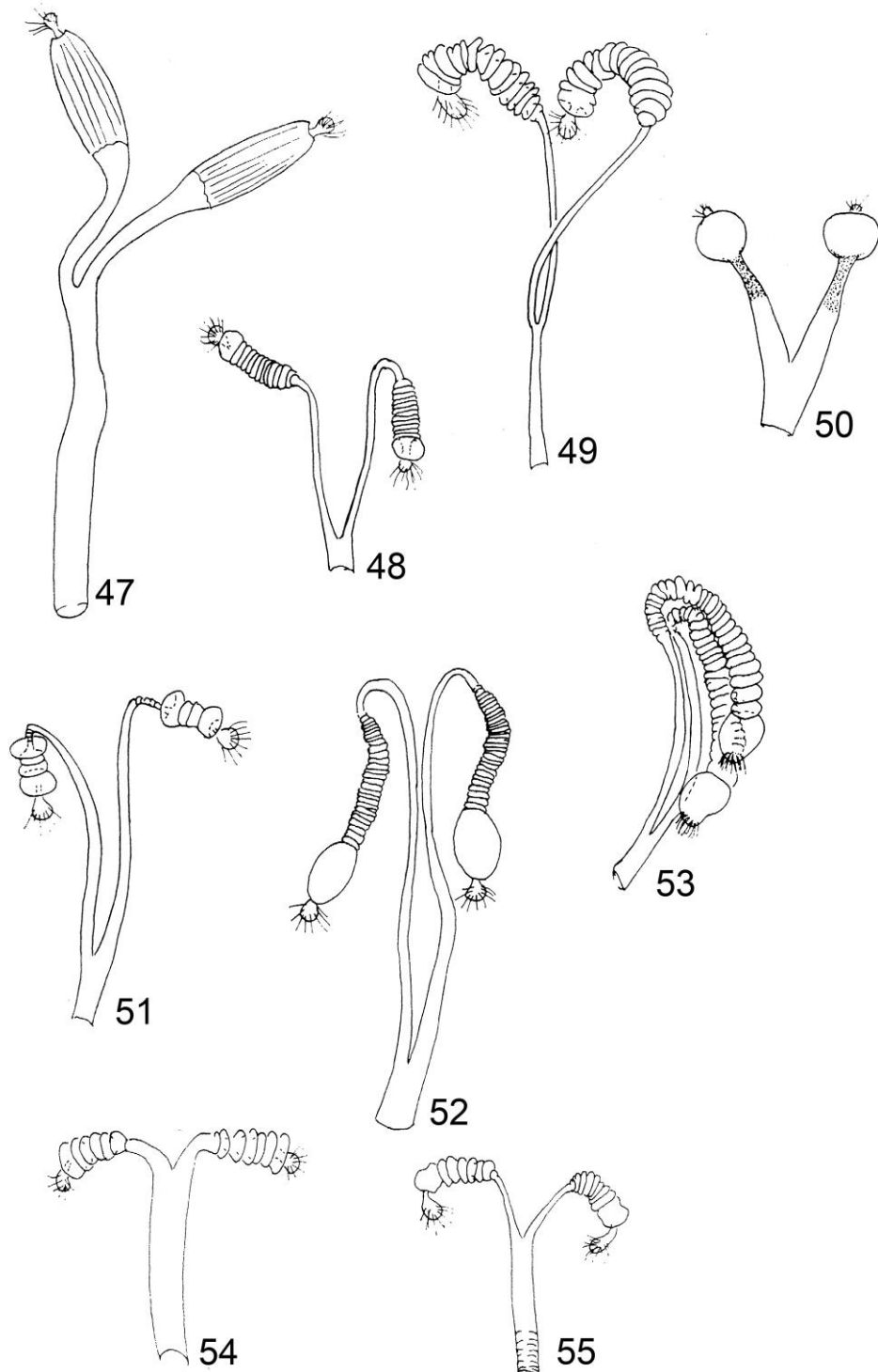
**Fig. 33.** Abdômen e genitália da fêmea de Phlebotominae: **A** – Abdômen em vista lateral, **est** – esternito, **terg** – tergito, **B** – Genitália em vista lateral, **C** – 8º tergito em vista ventral, **D** – 9º segmento, 10º segmento e cercos em vista ventral. *Nyssomyia neivai*.



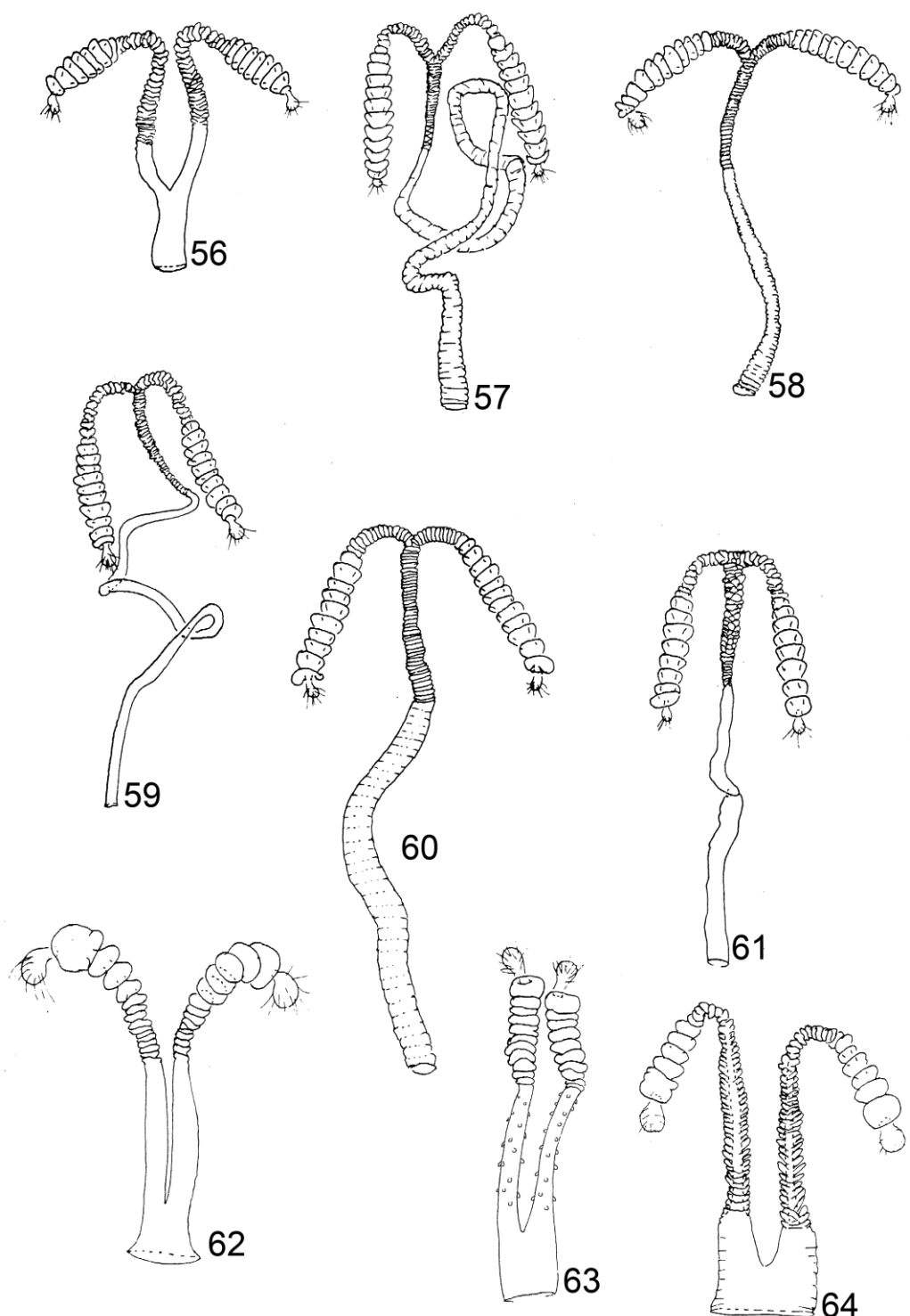
**Figs. 34–37.** Aspectos do abdômen e da terminália de fêmeas de Phlebotominae: 34 – 3º ao 6º segmentos abdominais: **seta** – cerdas pleurais: *Lu. (Tricholateralis) sherlocki*, 35 – furca genital mostrando entalhe na parte superior da câmara genital: *Pi. monticola*, 36 – 9º tergito em vista dorsal, mostrando cerdas não caducas na região mediana do tergito: *Pi. (Pif.) sp. série Pia*, 37 – 9º segmento mostrando protuberância esclerosada no tergito: A – vista lateral, B – vista dorsal: *Mg. migonei*.



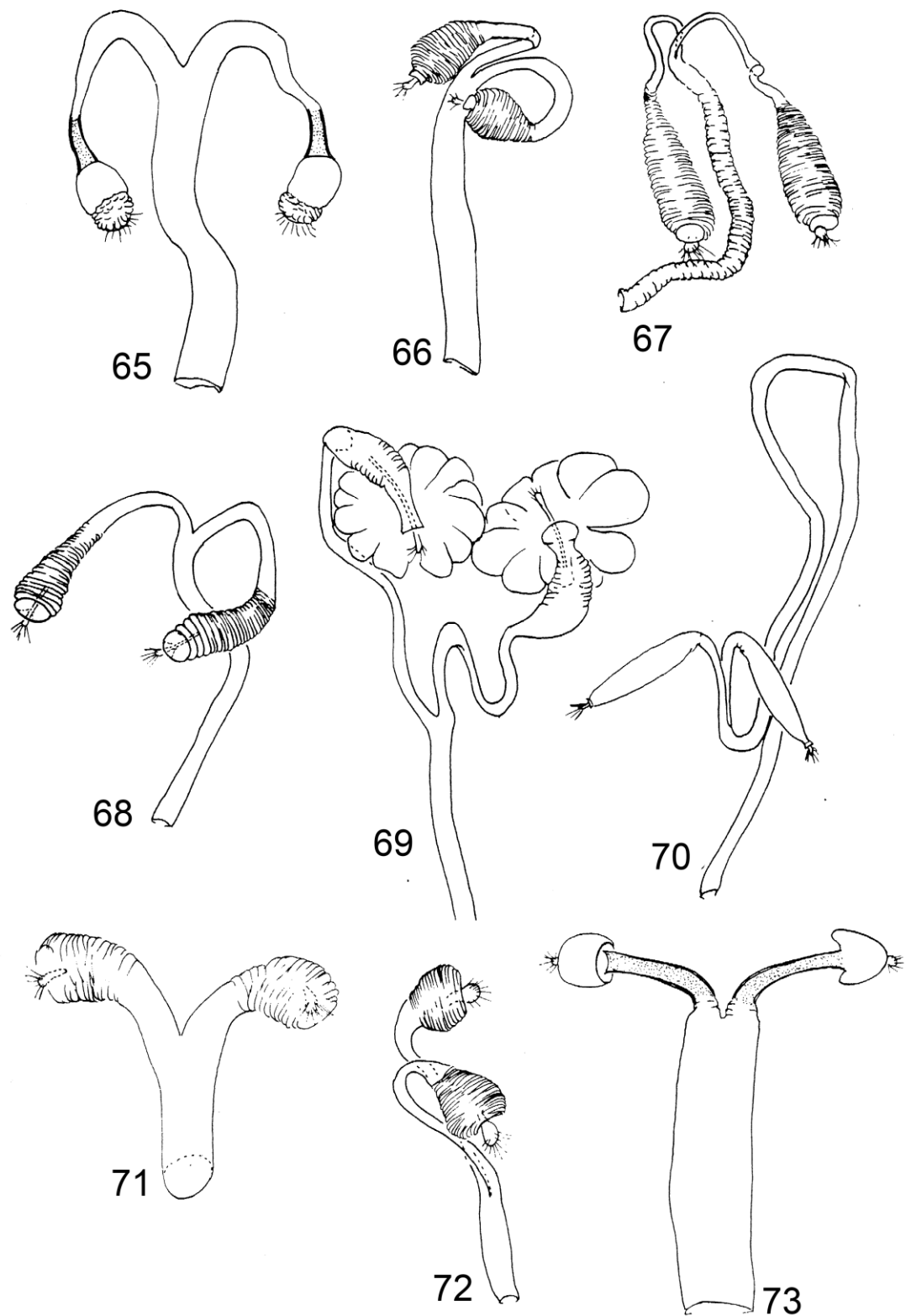
**Figs. 38–46.** Aspectos das espermatecas de vários grupos de Phlebotominae com duto comum rudimentar ou ausente: 38 – *Wa. phlebotomanica*, 39 – *Ph. papatasi*, 40. *Mg. migonei*, 41 – *Lu. cruciata*., 42 – *Br. brumpti*, 43 – *Mg. (Blancasmyia) gorbitzi*, 44 – *Mi. pilosa*, 45 – *Vi. tuberculata*, 46 – *Pa. (For.) aragaoi*.



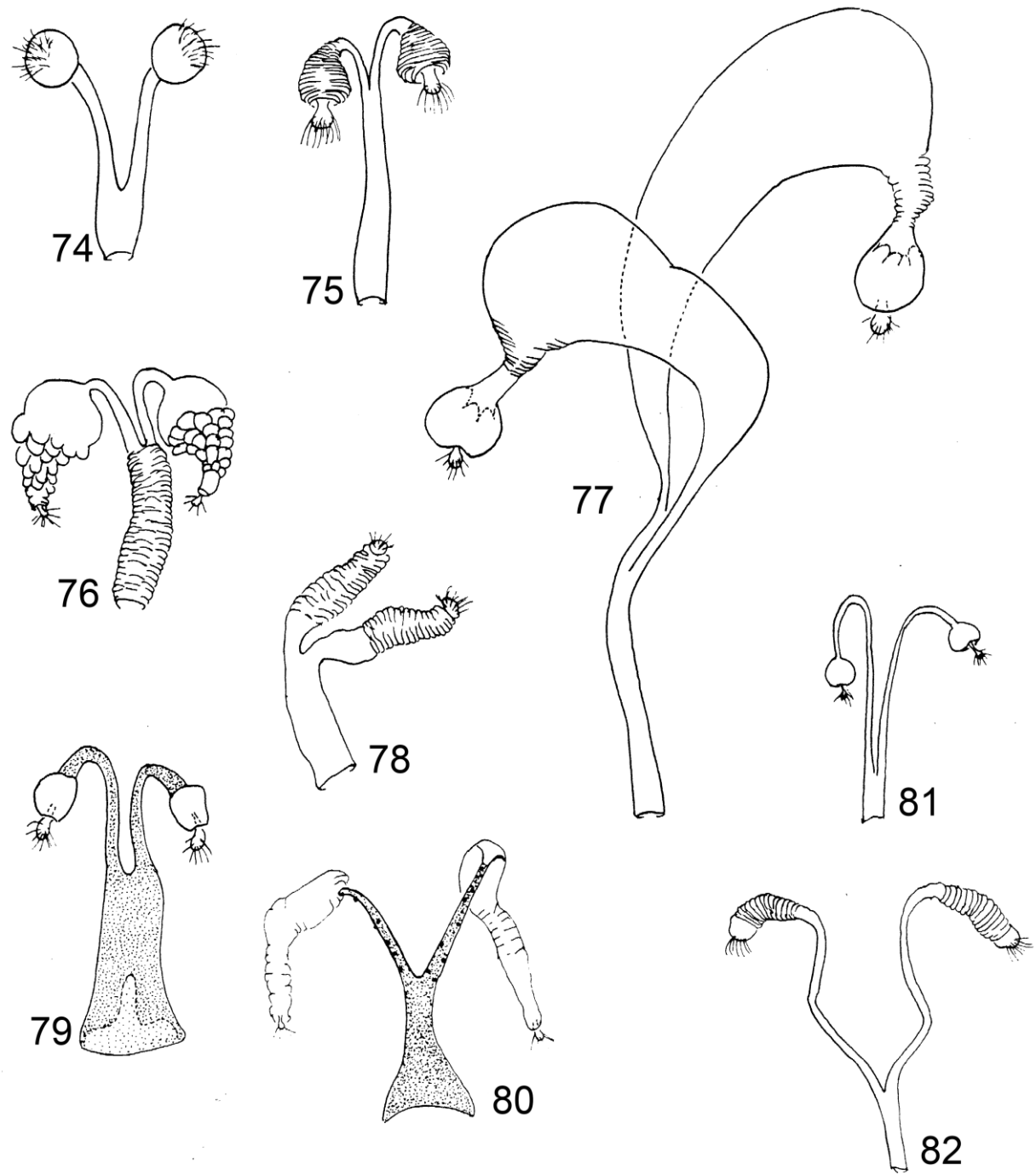
**Figs. 47–55.** Aspectos das espermatecas de Psychodopygina: **47** – *Pa. (Psa.) shannoni*, **48** – *Pa. (Psa.) lanei*, **49** – *Pa. (Xiphopsathyromyia) dreisbachi*, **50** – *Pa. (For.) lutziana*, **51** – *Martinsmyia alphabetica*, **52** – *Trichophoromyia auraensis*, **53** – *Trichophoromyia ubiquitalis*, **54** – *Martinsmyia gaspariannai*, **55** – *Bichromomyia flaviscutellata*.



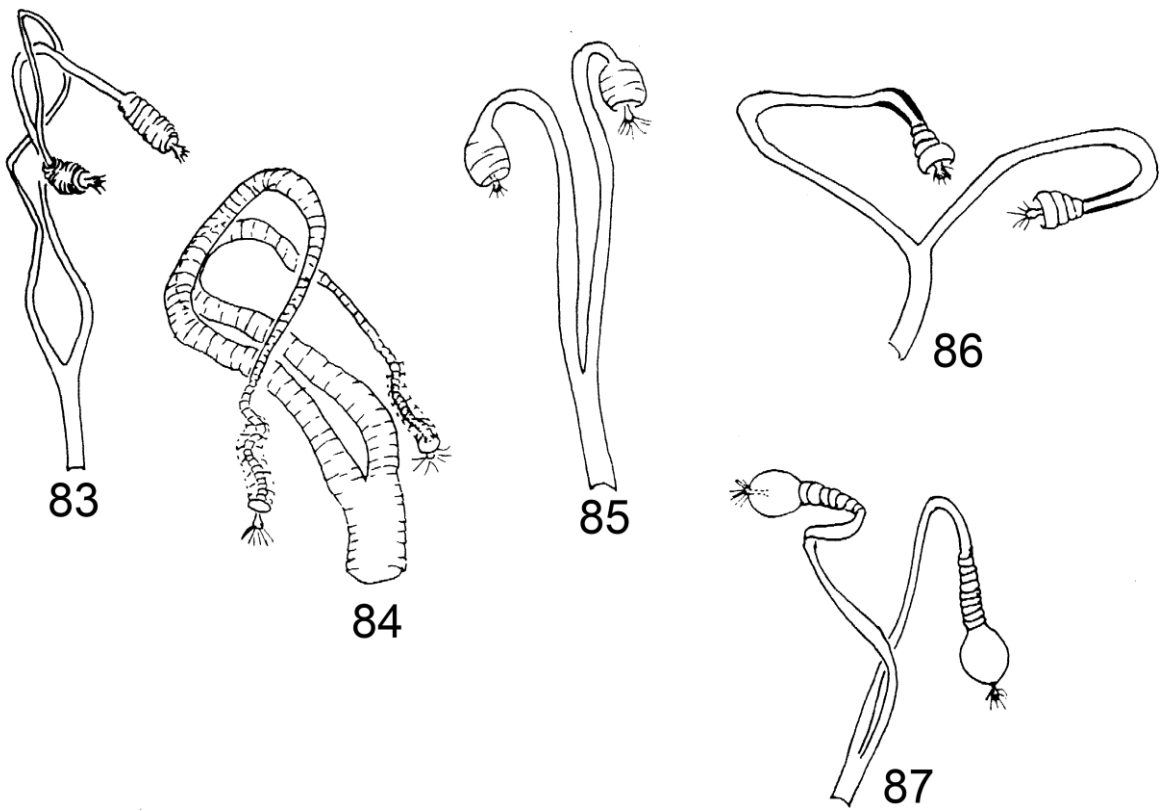
**Figs. 56–64.** Aspectos das espermatecas de Psychodopygina: 56 – *Psychodopygus chagasi*, 57 – *Ps. davisi*, 58 – *Ps. panamensis*, 59 – *Ps. ayrozai*, 60 – *Ps. arthuri*, 61 – *Ps. paraensis*, 62 – *Nyssomyia anduzei*, 63 – *Ny. yuilli pajoti*, 64 – *Ny. fraihai* (as três últimas estão em escala 3 vezes maior que as demais).



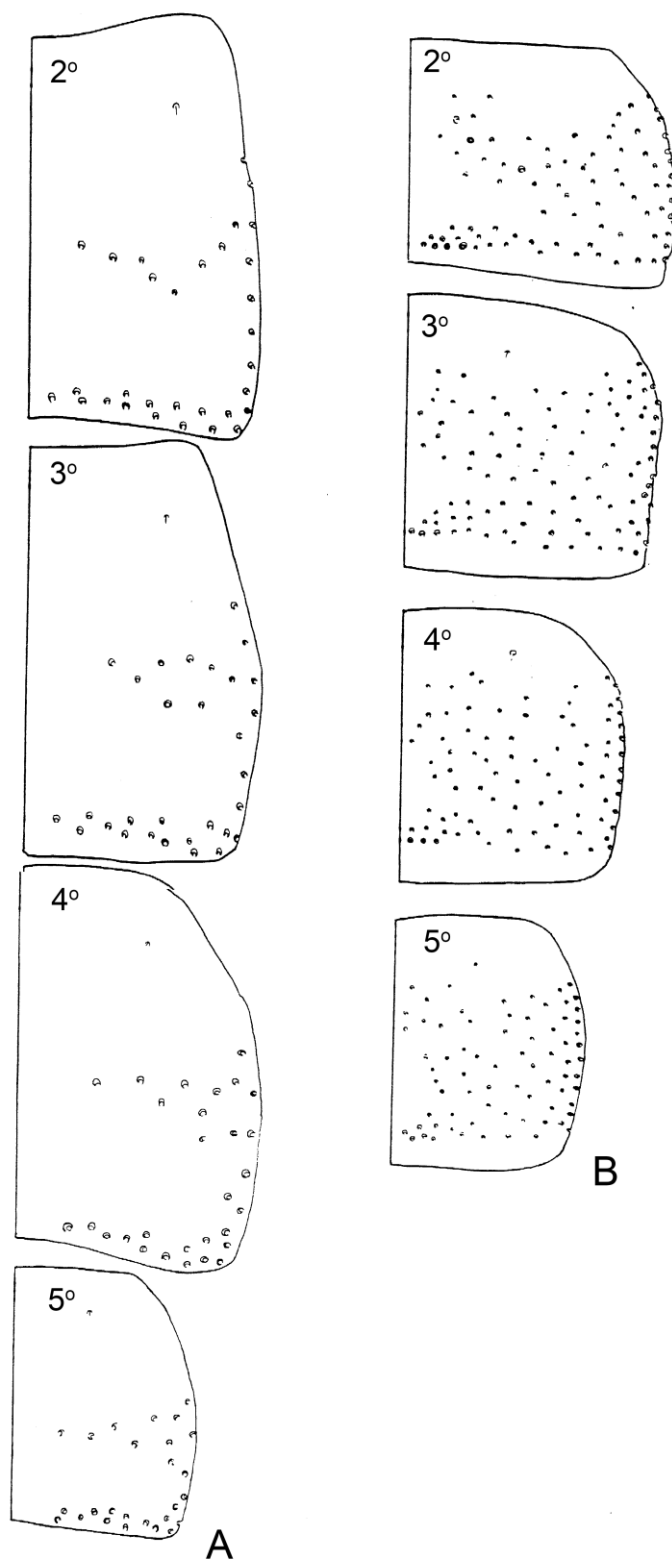
**Figs. 65–73.** Aspectos das espermatecas de Lutzomyiina: **65** – *Pintomyia (Pin.) fischeri*, **66** – *Pi. (Pif.) sp. série Pia*, **67** – *Pi. (Pif.) verrucarum*, **68** – *Pi. (Pif.) robusta*, **69** – *Dampfomyia (Dam.) anthophora*, **70** – *Pi. (Pif.) pacae*, **71** – *Da. (Coromyia) vespertilionis*, **72** – *Trichopygomyia longispina*, **73** – *Pressatia triacantha*.



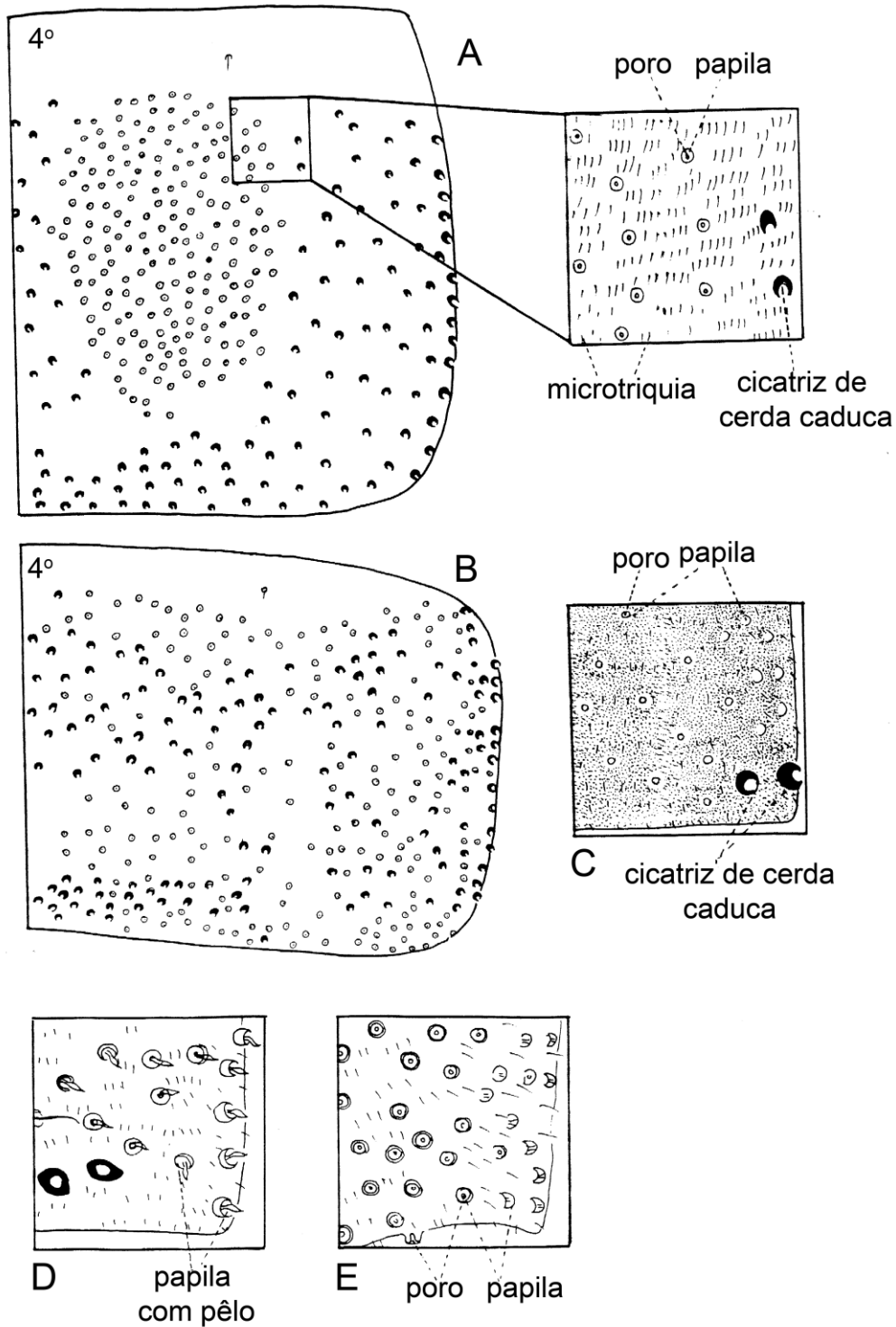
**Figs. 74–82.** Aspectos das espermatecas de Lutzomyiina: **74** – *Expapillata firmatoi*, **75** – *Evandromyia (Eva.) correaimai*, **76** – *Ev. (Eva.) saulensis*, **77** – *Evandromyia (Barrettomyia) tupynambai*, **78** – *Ev. (Eva.) infraspinosa*, **79** – *Ev. (Aldamyia) walkeri*, **80** – *Ev. (Bar.) monstruosa*, **81** – *Ev. (Bar.) cortelezzii*, **82** – *Sciopemyia sordellii*.



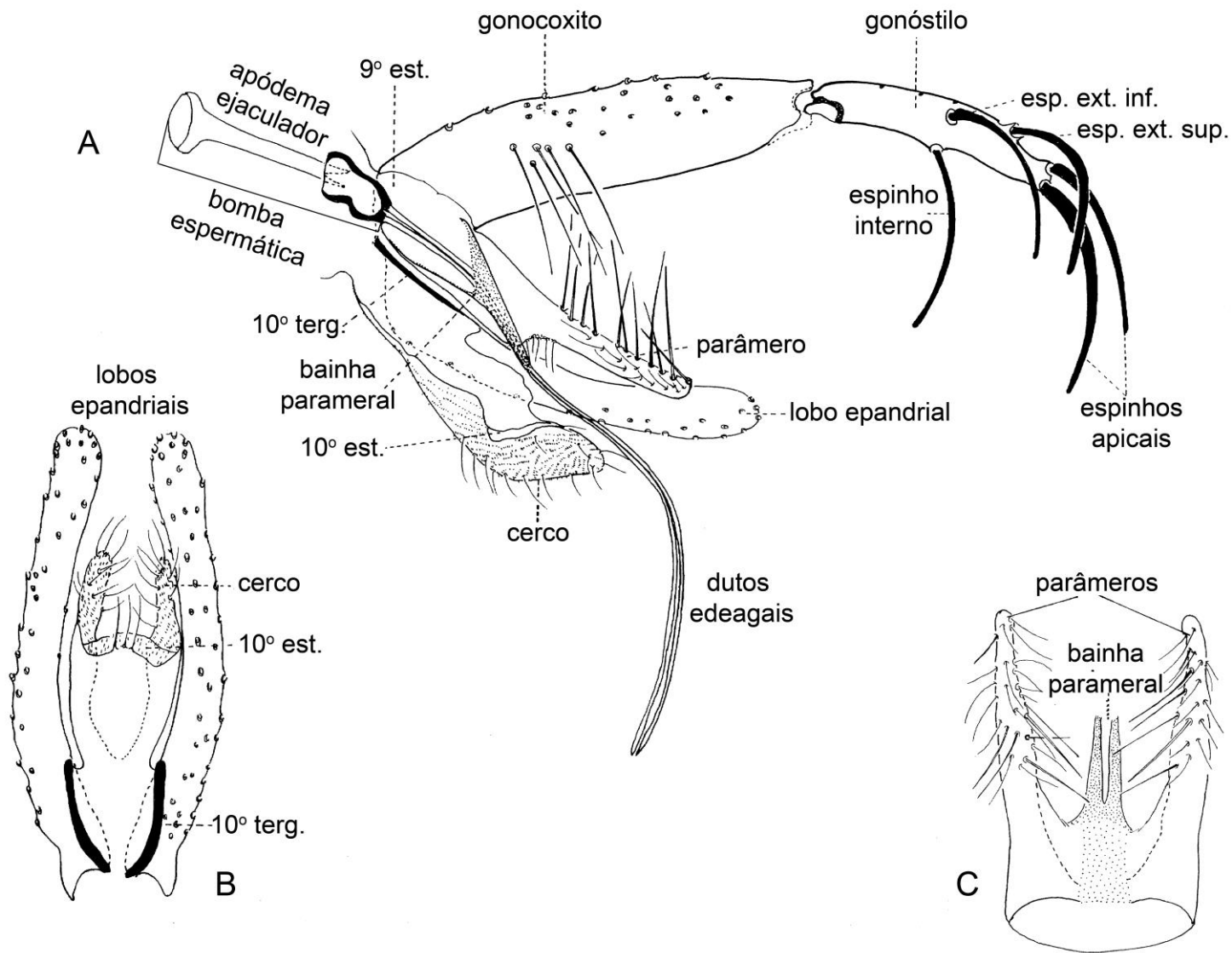
**Figs. 83–87.** Aspectos de espermatecas de Sergentomyiina: **83** – *Deanemyia samueli*, **84** – *Micropygomyia vexator*, **85** – *Micropygomyia atroclavata*, **86** – *Micropygomyia oswaldoi*, **87** – *Micropygomyia cayennensis*.



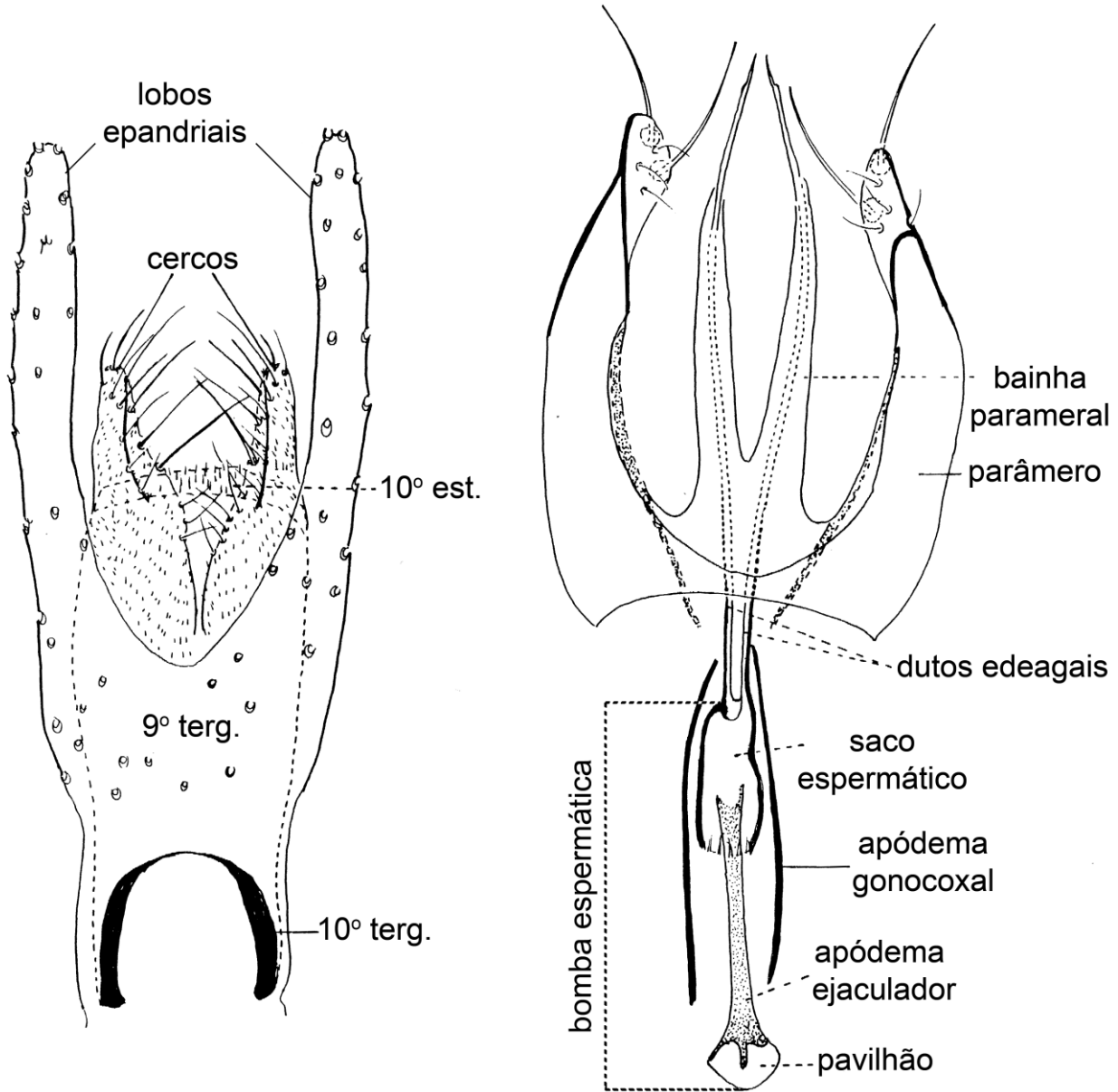
**Fig. 88.** 2º ao 5º tergitos com disposição das cicatrizes de cerdas nos tergitos 2º ao 5º de machos. **A** – *Warileya phlebotomanaica*, **B** – *Nyssomyia intermedia*



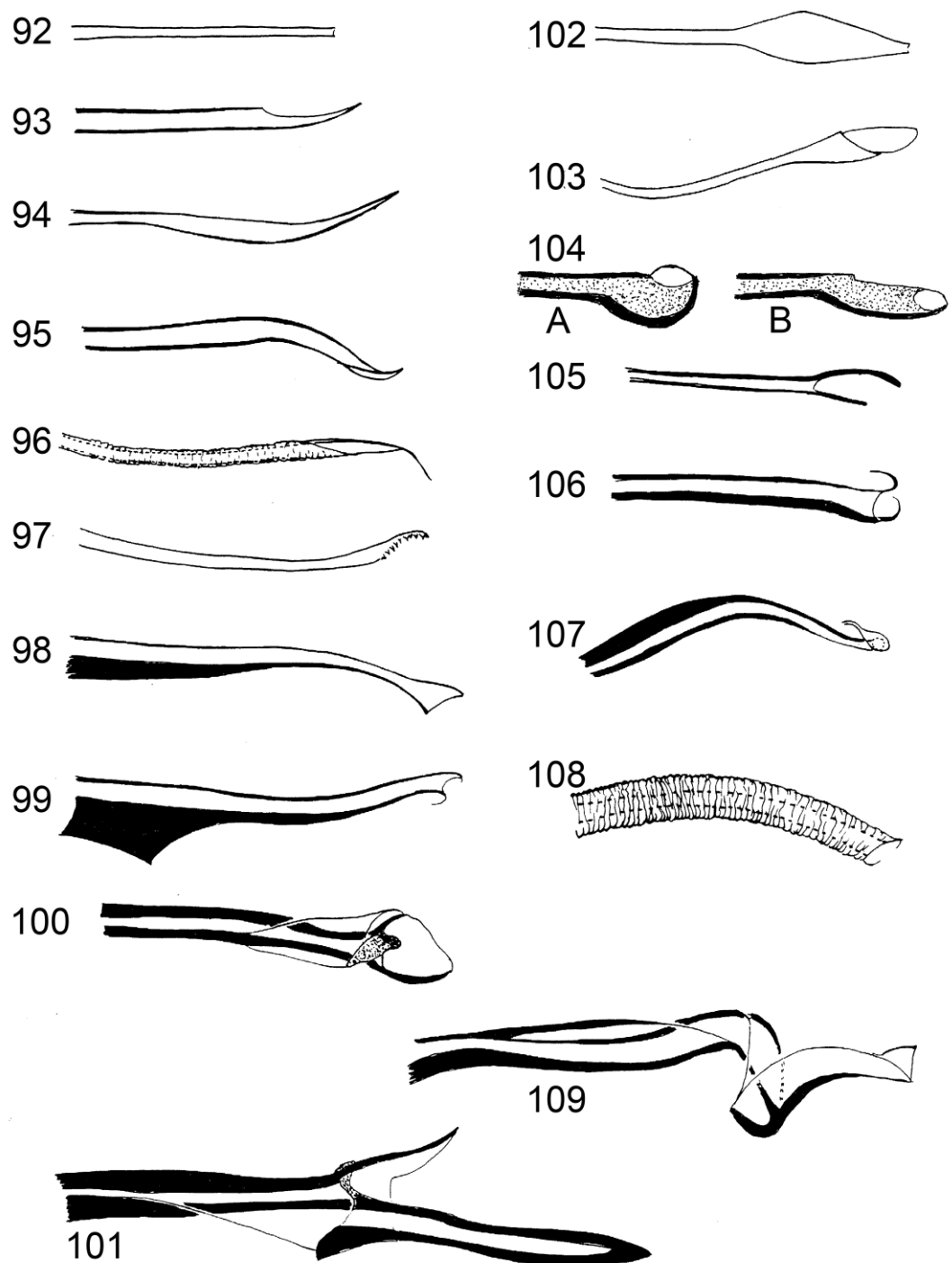
**Fig. 89.** Machos – Distribuição de papilas no 4º tergito e aspecto de papilas tergais: **A** – circunscrita à área central – *Lu. longipalpis*, **B** – ocupando toda a superfície do tergito, entre as cicatrizes de cerdas: *Pi. fischeri*; **C–E** – Aspecto das papilas nas regiões apicolaterais do 6º tergito: **C** – papilas sem pêlo e sem demarcação nítida dos bordos: *Lu. longipennis*, **D** – papilas com pêlo: *Br. cardosoi*, **E** – papilas sem pêlo com bordos bem demarcados e salientes: *Evandromyia walkeri*.



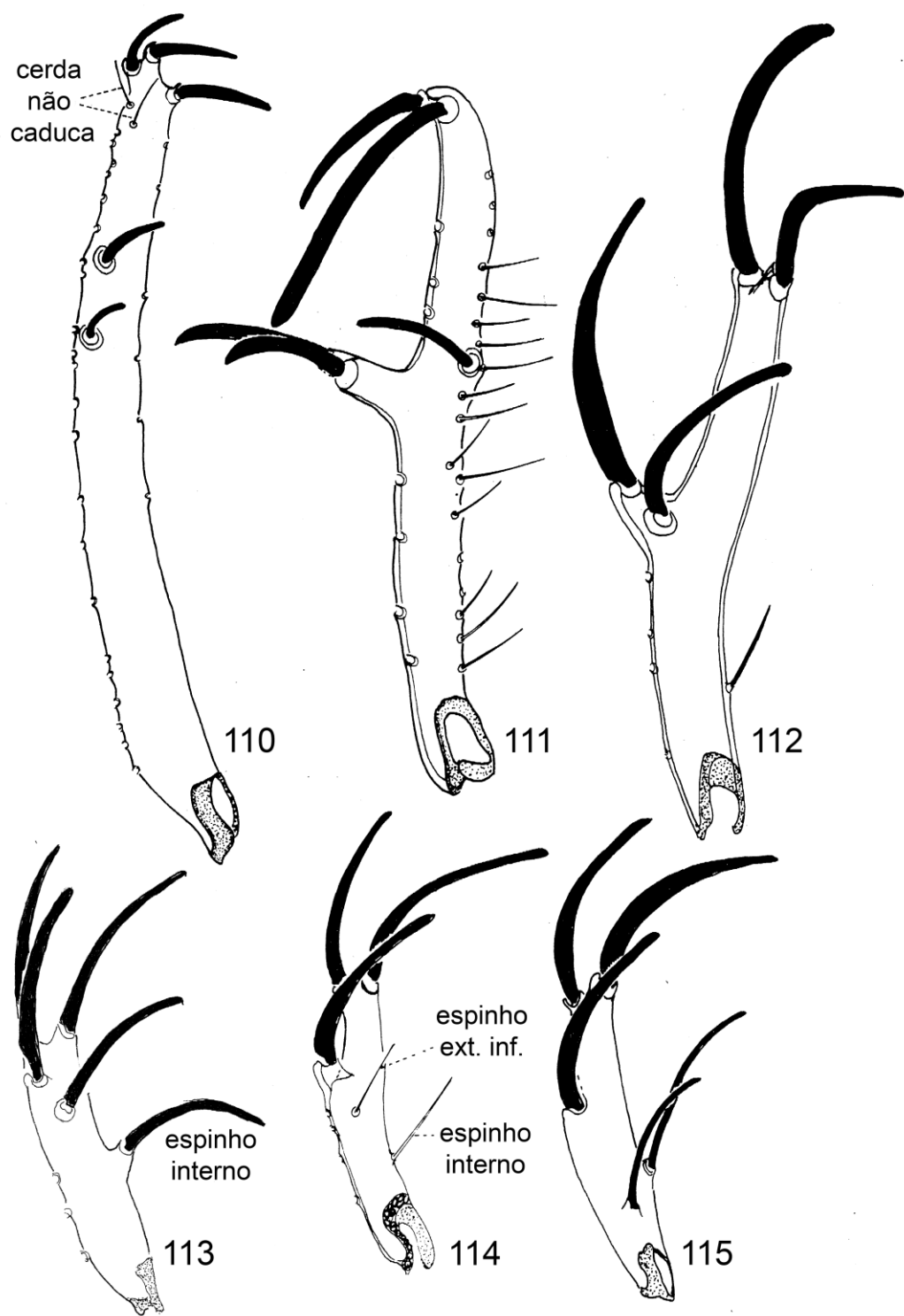
**Fig. 90.** Genitália masculina de Phlebotominae: **A** – vista lateral, **B** e **C** – vista ventral: *Micropygomyia oswaldoi*.



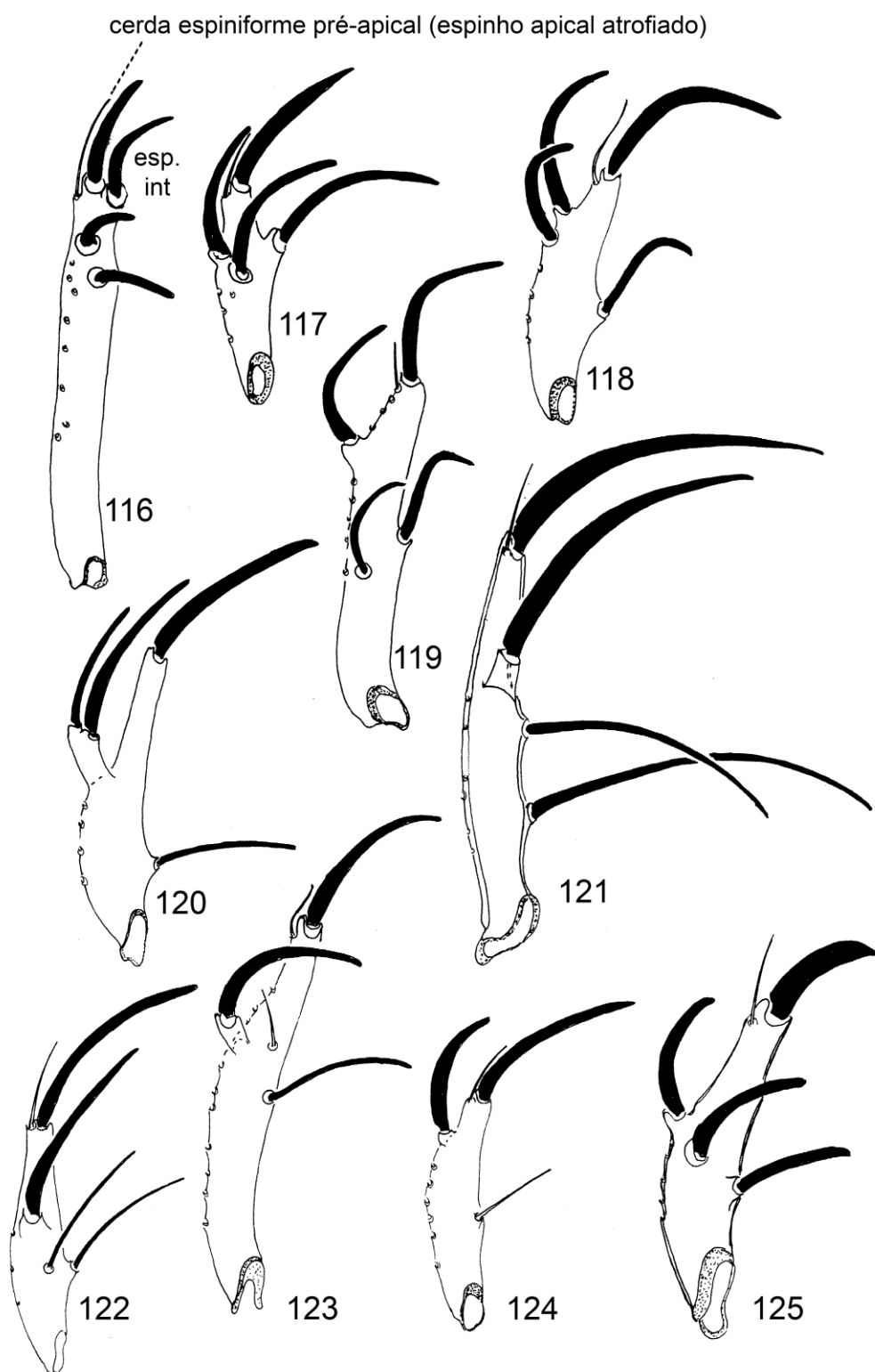
**Fig. 91.** Vista ventral de partes da genitália masculina de Phlebotominae.  
*Wa. phlebotomanica*



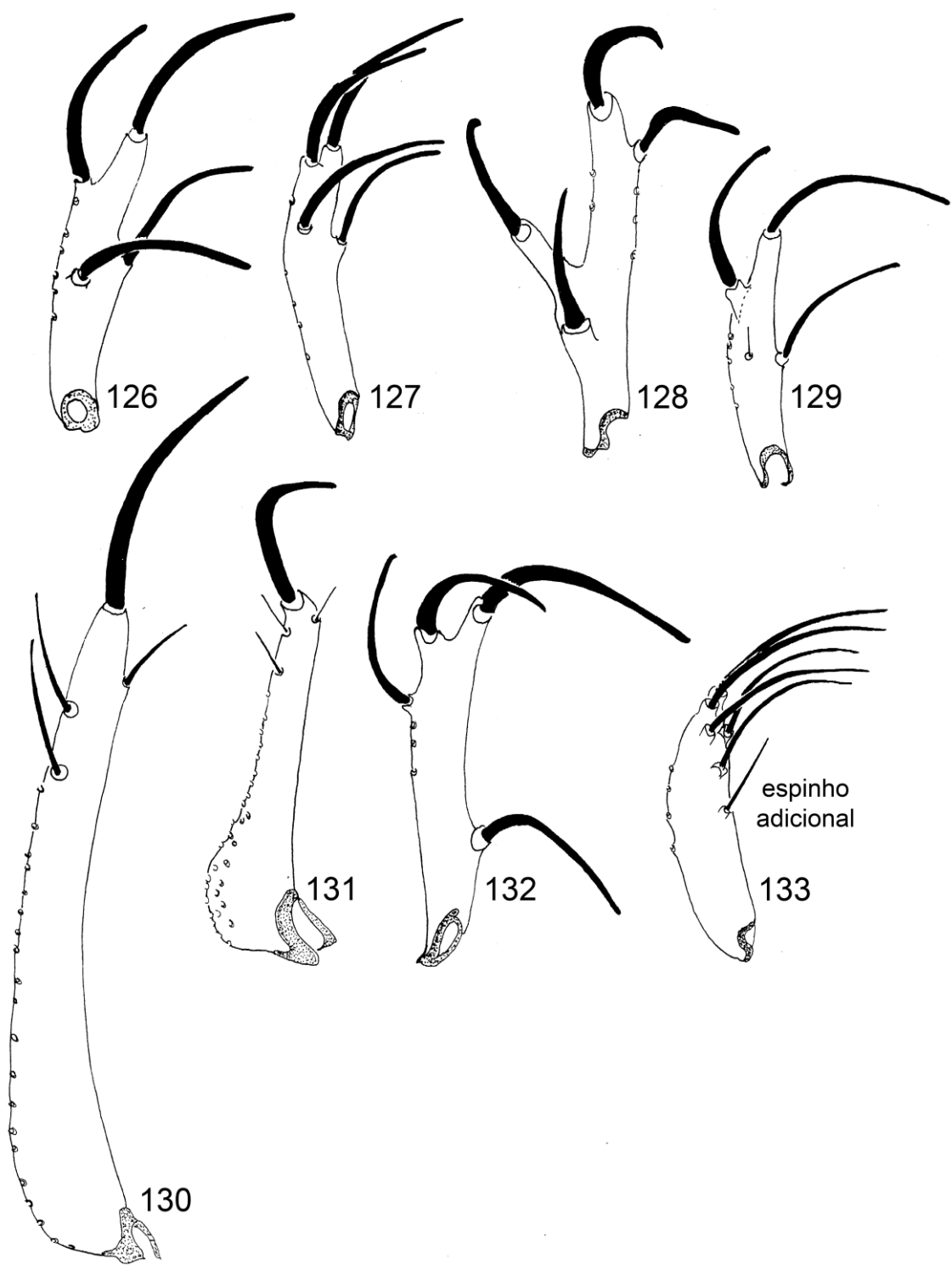
**Figs. 92–109.** Aspectos da porção terminal dos dutos edeagais: **92** – ápice rombo: *Lu. longipalpis*, **93** – ápice em bisel – *Pa. shannoni*, **94** – ápice em semi lança: *Pa. brasiliensis*, **95** – ápice em bisel curvo: *Mi. longipennis*, **96** - duto estriado e ápice em bisel curvo: *Pa. dendrophyla*, **97** – ápice curvo e denteado: *Ma. gaspariannai*, **98** – ápice em funil: *Ev. teratodes*, **99** – ápice rombo e esfarelado precedido de forte esclerosação na região apical: *Ev. termitophila*, **100** – ápice em clava: *Ev. walkeri*, **101** – ápice bifurcado e fortemente esclerosado: *Ev. lenti*, **102** – ápice losangular: *Pa. runoides*, **103** – ápice em clava: *Trychophoromyia auraensis*, **104A** – ápice em concha: *Ny. intermedia*, **104B** – ápice em colher ou faca para peixe: *Ny. neivai*, **105** – ápice bifurcado: *Ny. whitmani*, **106** – ápice esfarpelado: *Ny. yuilli pajoti*, **107** – ápice curvo e com apêndice: *Vi. tuberculata*, **108** – duto estriado e ápice truncado: *Ev. brachyphala*, **109** – área pré-apical curva e ápice rombo: *Pa. aragaoi*.



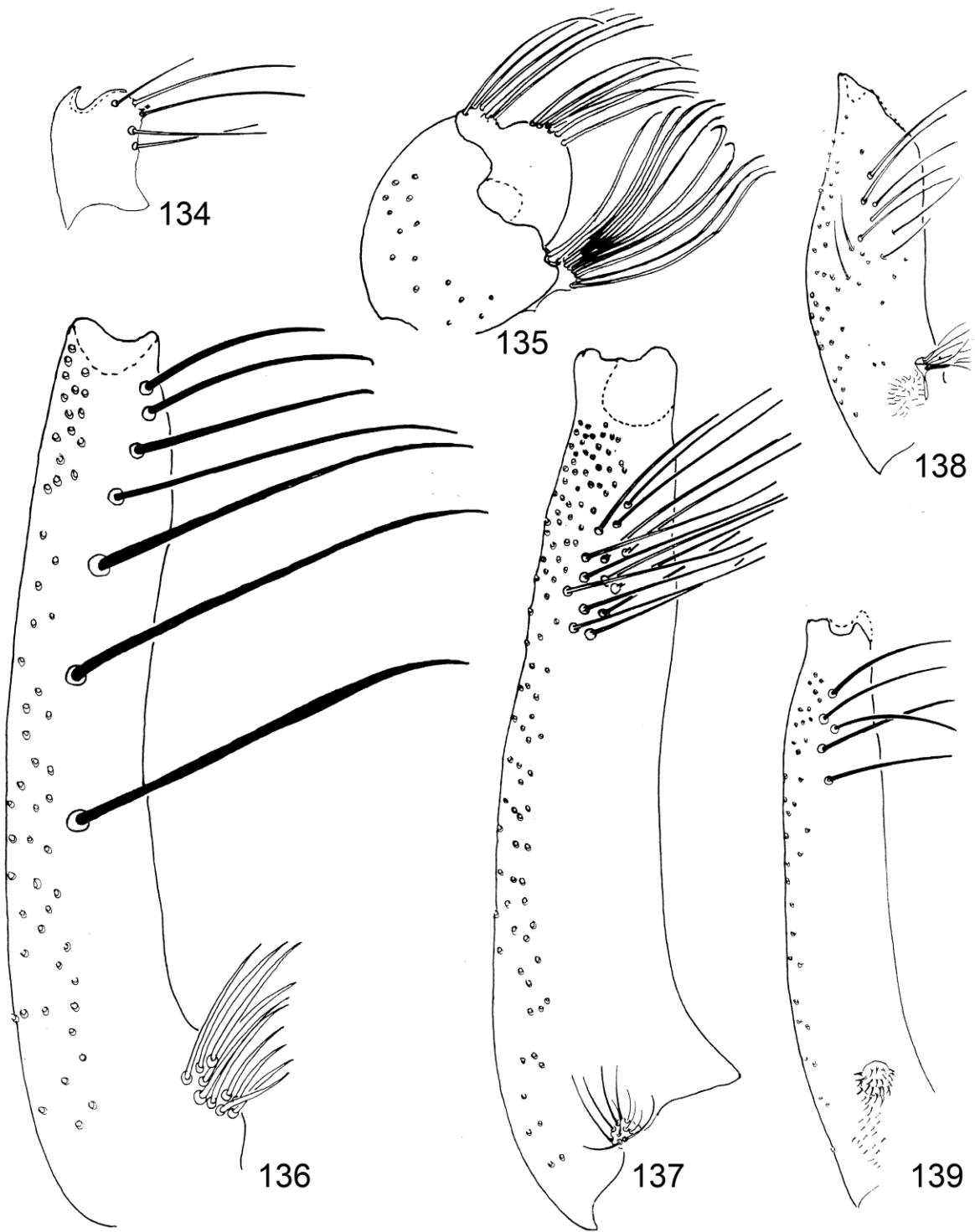
**Figs. 110–115.** Gonostilos de Phlebotominae: aspectos das posições e desenvolvimento dos espinhos; **110** – *Phlebotomus papatasi*, **111** – *Brumptomyia ortizi*, **112** – *Oligondomyia toroensis*, **113** – *Edentomyia piauiensis*, **114** – *Deanemyia samueli*, **115** – *Lutzomyia forattinii*.



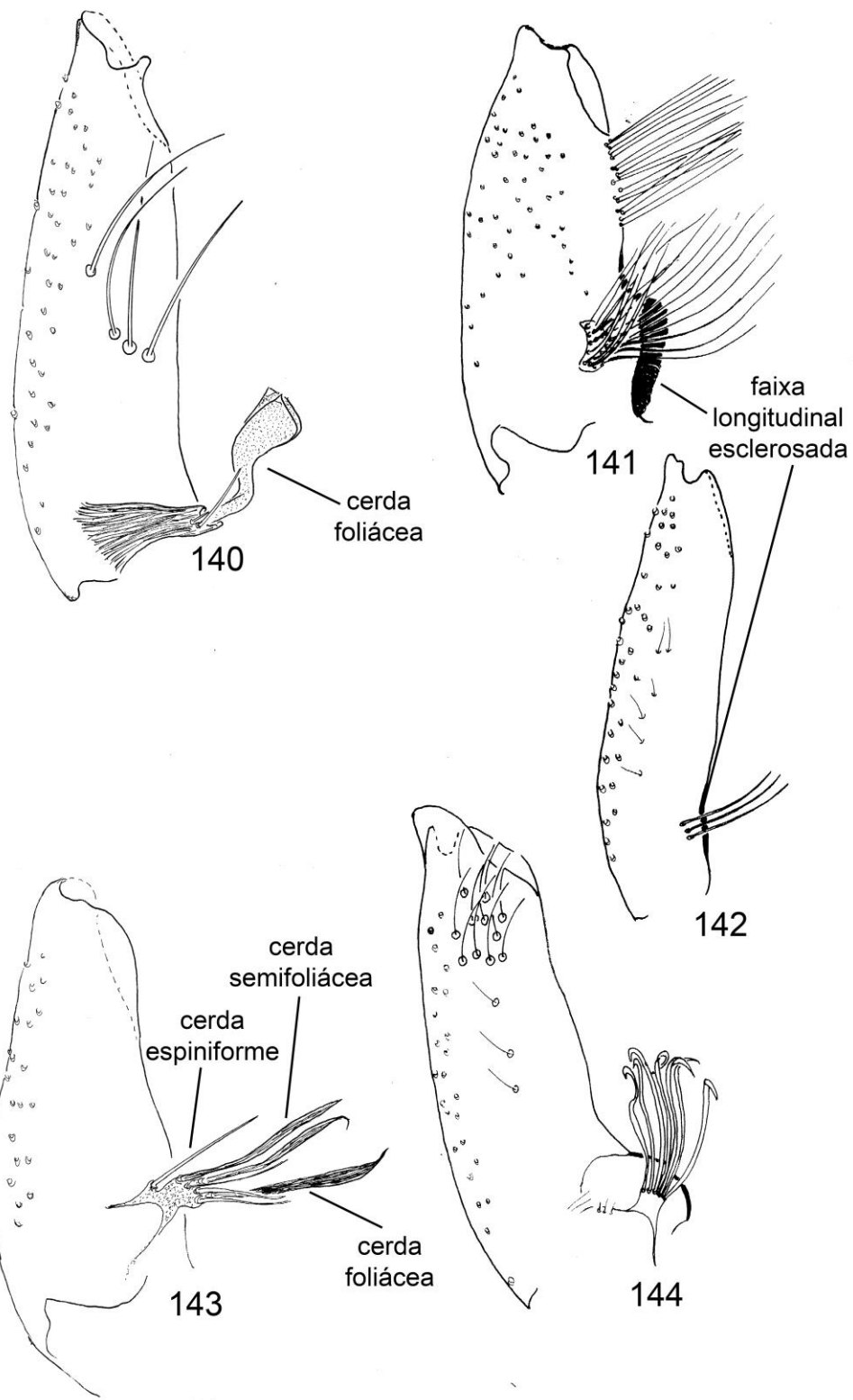
**Figs. 116–125.** Gonóstilos de Phlebotominae: 116 – *Migonemyia gorbitzi*, 117 – *Migonemyia migonei*, 118 – *Pintomyia fischeri*, 119 – *Lutzomyia longipalpis*, 120 – *Evandromyia correaimai*, 121 – *Trichopygomyia longispina*, 122 – *Evandromyia cortelezzii*, 123 – *Pressatia triacantha*, 124 – *Dampfomyia anthophora*, 125 – *Dampfomyia* sp. de Suchitepequez (grupo Delpozoi).



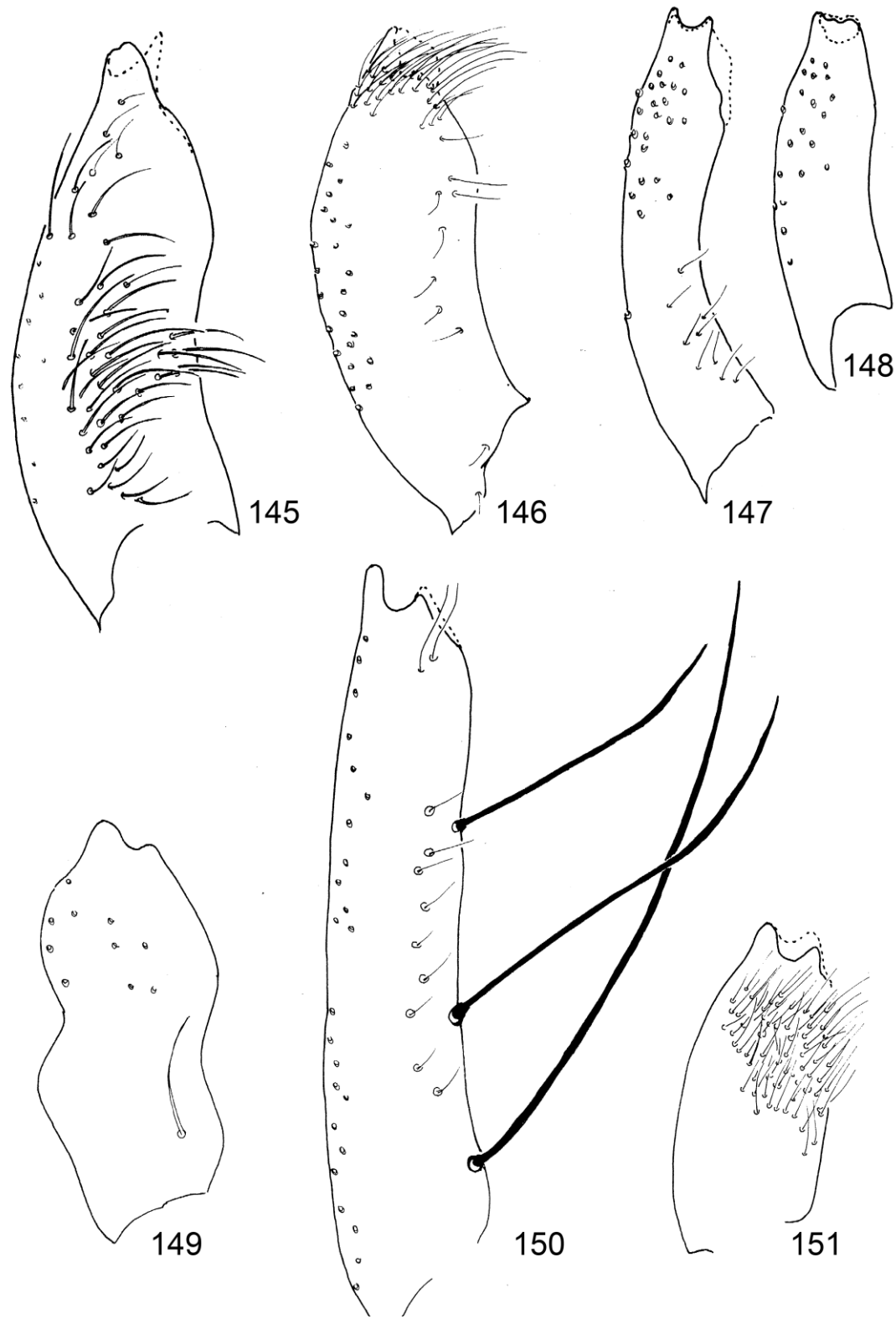
**Figs. 126–133.** Gonóstilos de Phlebotominae: **126** – *Lutzomyia cruciata*, **127** – *Psathyromyia lanei*, **128** – *Viannamyia tuberculata*, **129** – *Micropygomyia pilosa*, **130** – *Psychodopygus geniculatus*, **131** – *Psychodopygus chagasi*, **132** – *Trichophoromyia auraensis*, **133** – *Martinsmyia alphabetica*.



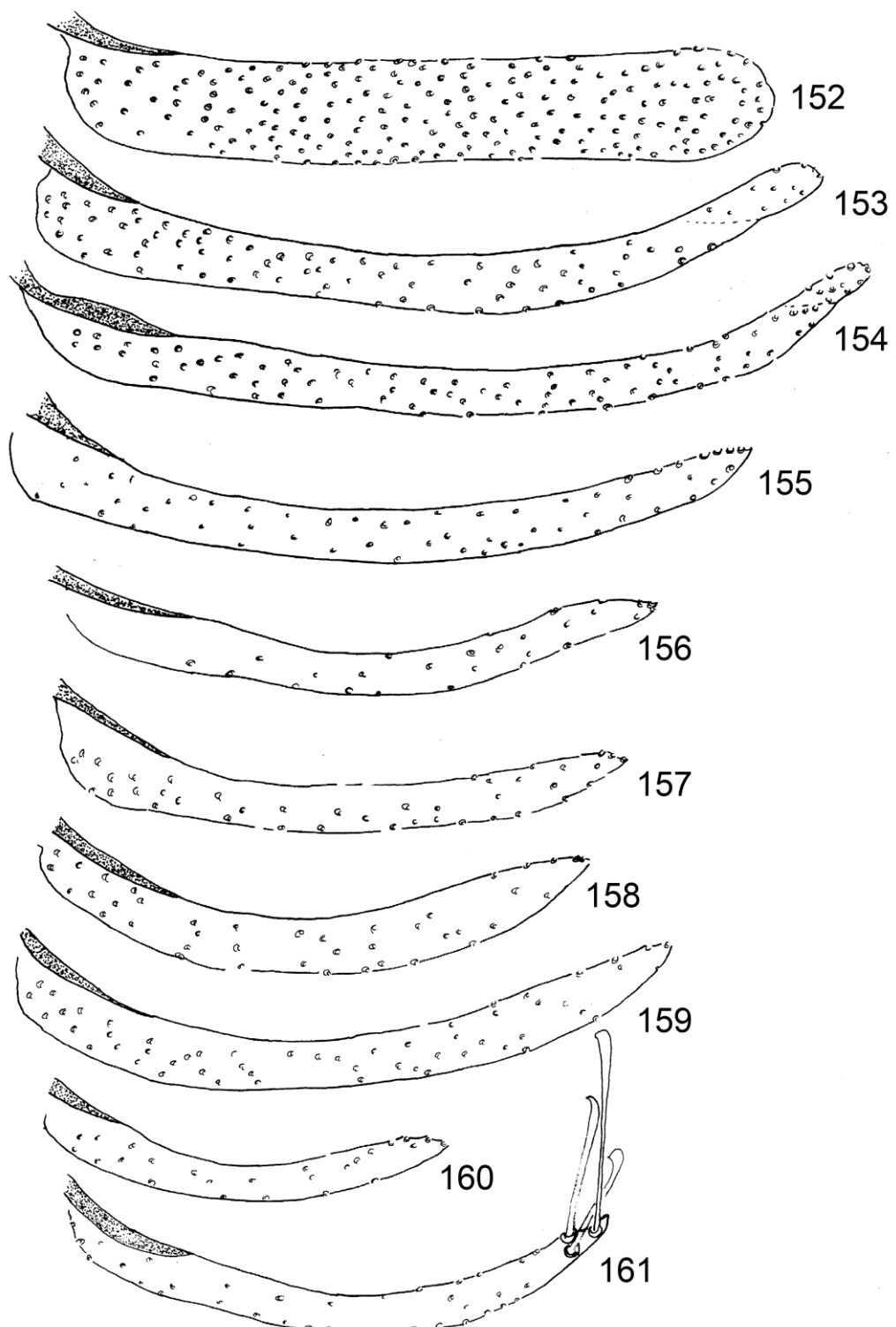
**Figs. 134–139.** Aspectos da forma e cerdosidade de gonocoxitos de Phlebotominae: **134** – *Hertigia hertigi*, **135** – *Wa. phlebotomanica*, **136** – *Brumptomyia brumpti*, **137** – *Phlebotomus papatasi*, **138** – *Migonemyia migonei*, **139** – *Migonemyia gorbitzi*.



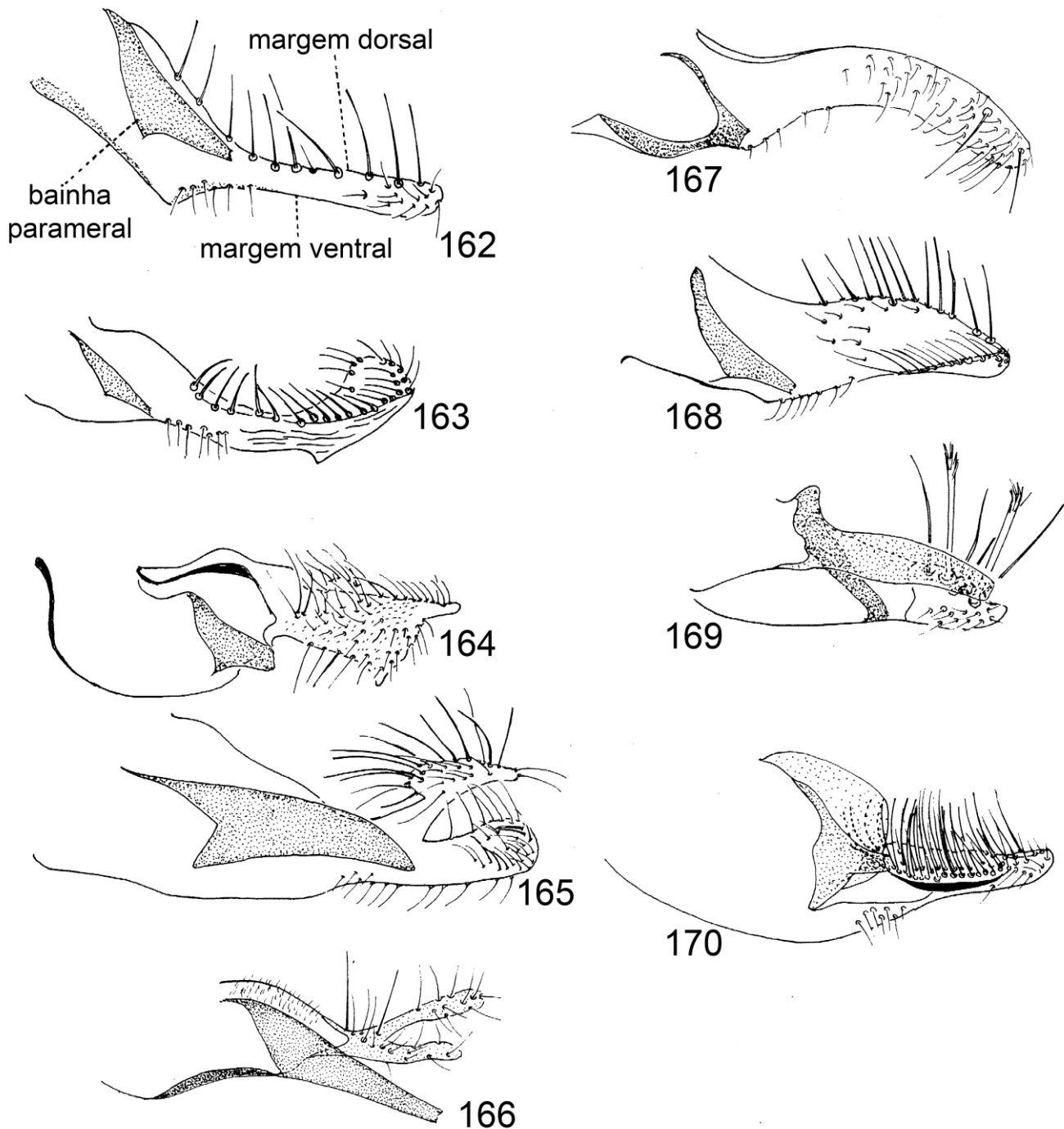
**Figs. 140–144.** Aspectos da forma e cerdosidade de gonocoxitos de Phlebotominae: **140** – *Lutzomyia almerioi*, **141** – *Pintomyia verrucarum*, **142** – *Pintomyia fischeri*, **143** – *Lutzomyia (Tricholateralis) carvalhoi*, **144** – *Pressatia triacantha*.



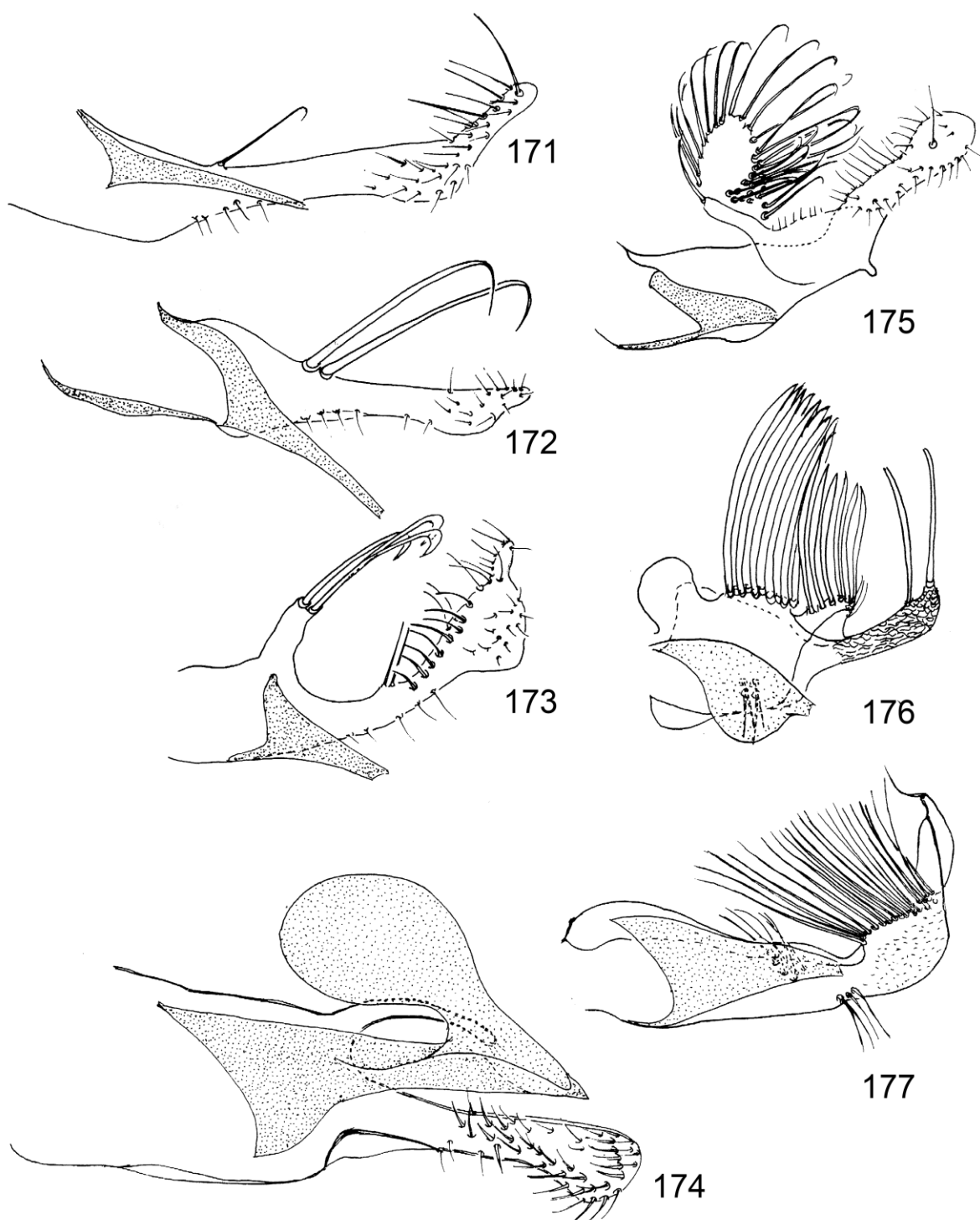
**Figs. 145–151.** Aspectos da forma e cerdosidade de gonocoxitos de Phlebotominae: **145** – *Trichophoromyia auraensis*, **146** – *Viannamyia tuberculata*, **147** – *Psathyromyia lanei*, **148** – *Martinsmyia alphabetica*, **149** – *Psychodopygus chagasi*, **150** – *Psathyromyia aragaoi*, **151** – *Micropygomyia pilosa*.



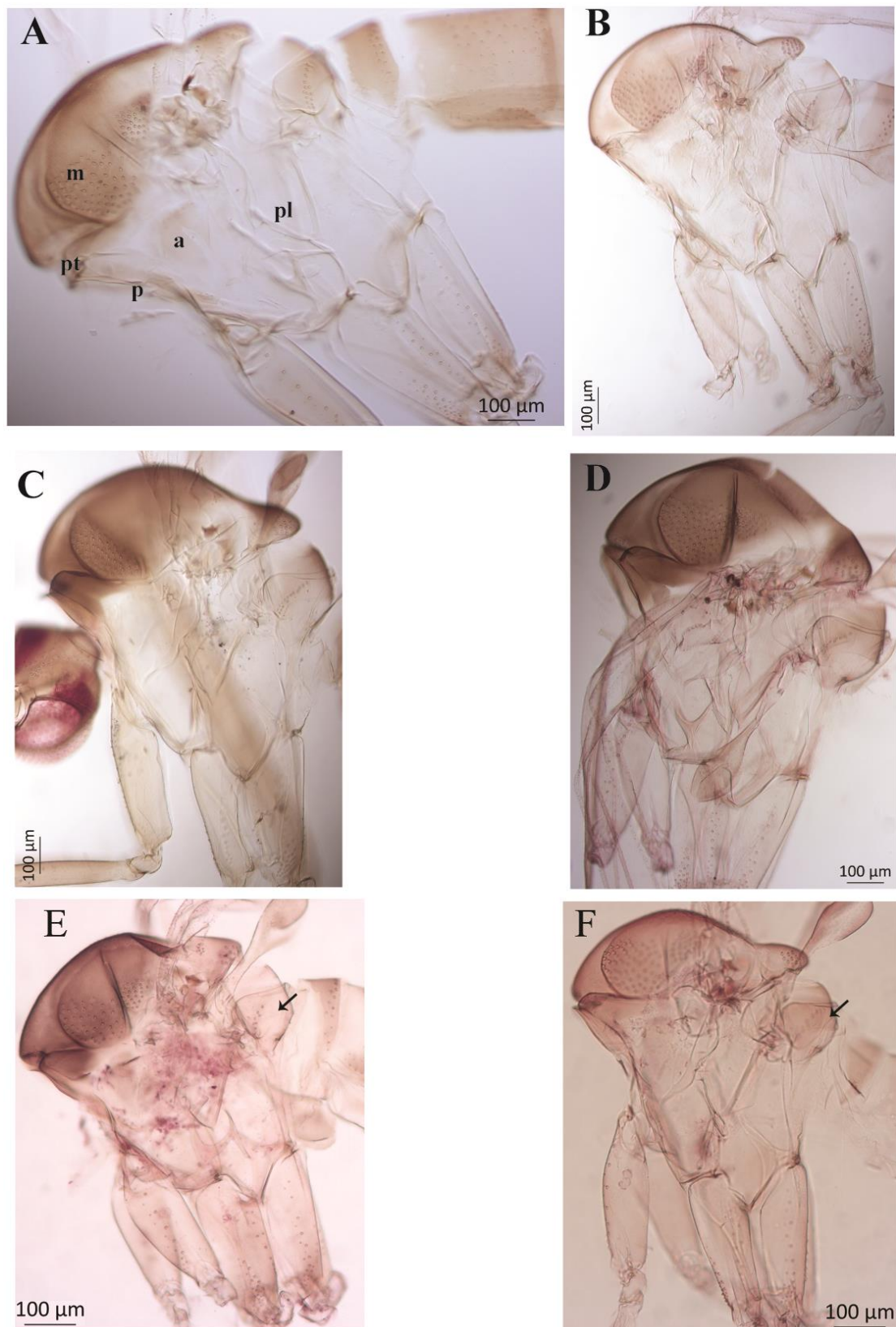
**Figs. 152–161.** Lobos epandriais. **152** – intumescido: *Dampfomyia vespertilionis*, **153–154** – com ápice oblongo e ligeira reentrância pré-apical: **153** – *Pressatia triacantha*, **154** – *Trichopygomyia longispina*, **155–161** – ápice afilado em bisel: **155** – *Evandromyia walkeri*, **156** – *Evandromyia monstruosa*, **157** – *Evandromyia correallimai*, **158** – *Evandromyia tupynambai*, **159** – *Evandromyia cortelezzii*, **160** – *Evandromyia saulensis*, **161** – com presença de cerdas não caducas – *Evandromyia infraspinosa*.



**Figs. 162–170.** Aspectos de parâmeros e bainhas paramerais de Phlebotominae: 162 – *Martinsmyia alphabetica*, 163 – *Evandromyia tupynambai*, 164 – *Pressatia triacantha*, 165 – *Trichopygomyia longispina*, 166 – *Evandromyia infraspinosa*, 167 – *Migonemyia gorbitzi*, 168 – *Psathyromyia lanei*, 169 – *Viannamyia tuberculata*, 170 – *Trichophoromyia auraensis*.



**Figs. 171–177.** Aspectos de parâmeros e bainhas paramerais de Phlebotominae: **171** – *Lutzomyia castroi*, **172** – *Lutzomyia longipalpis*, **173** – *Lutzomyia dispar*, **174** – *Trichopygomyia dasypodogeton*, **175** – *Dampfomyia anthophora*, **176** – *Psychodopygus panamensis*, **177** – *Psychodopygus chagasi*.



**Fig. 178** – Tórax de: **A** – *Psathyromyia shannoni* (Norte de Santander, Colômbia), **B** – *Psathyromyia baratai* (parátipo), **C** – *Psathyromyia limai* (holótipo) (OBS: a faixa castanha sob o tórax é o fêmur), **D** – *Psathyromyia ribeirensis* (Pq. Estadual de Intervales, São Paulo, Brasil), **E** – *Psathyromyia bigeniculata* (Cayenne, Guiana Francesa), **F** – *Psathyromyia abonnenci* (Xapuri, Acre, Brasil). **m** – mesonoto, **pt** – paratergito, **p** – pronoto, **a** – anepisterno, **pl** – pleura.